

STRUCTURES DU CUBE ET FIBRÉS D'INTERSECTION

FRANÇOIS DUCROT

ABSTRACT. We define the notion of a hypercube structure on a functor between two strictly commutative Picard categories which generalizes the notion of a cube structure on a G_m -torsor over an abelian scheme. We use this notion to define the intersection bundle $I_{X/S}(L_1, \dots, L_{n+1})$ of $n+1$ line bundles on a relative scheme X/S of relative dimension n and to construct an additive structure on the functor $I_{X/S} : PIC(X/S)^{n+1} \rightarrow PIC(S)$. Finally, we study a section of $I_{X/S}(L_1, \dots, L_{n+1})$ which generalizes the resultant of $n+1$ polynomials in n variables.

0. INTRODUCTION

0.1. Soit G un groupe algébrique commutatif et L un G_m -torseur sur G , le classique théorème du cube ([15],p58) affirme que le G_m -torseur suivant sur G^3 est trivial

$$(1) \quad \theta(L) = m^*L \wedge (m_{12}^*L)^{-1} \wedge (m_{23}^*L)^{-1} \wedge (m_{31}^*L)^{-1} \wedge p_1^*L \wedge p_2^*L \wedge p_3^*L$$

où m, m_{ij}, p_i sont les applications $G \times G \times G \rightarrow G$ définies par $m(x_1, x_2, x_3) = x_i + x_j + x_k$, $m_{ij}(x_1, x_2, x_3) = x_i + x_j$ et $p_i(x_1, x_2, x_3) = x_i$.

0.2. En réalité si G est une variété abélienne, une trivialisaton du G_m -torseur $\theta(L)$ devra vérifier des conditions de compatibilité qui s'expriment en termes de biextensions (notion introduite par MUMFORD pour l'étude des groupes formels et étudiée par GROTHENDIECK dans un cadre plus général). Considérons en effet le G_m -torseur $\Lambda = \Lambda(L)$ sur $G \times G$ défini par:

$$\Lambda(L) = m^*L \wedge (p_1^*L)^{-1} \wedge (p_2^*L)^{-1}$$

Une trivialisaton t de $\theta(l)$ induit deux lois (afin d'alléger les notations on considérera les fibres de Λ au dessus d'un point générique de $G \times G$):

$$\begin{aligned} *_1 : \Lambda_{x,y} \wedge \Lambda_{x,z} &\longrightarrow \Lambda_{x,y+z} \\ *_2 : \Lambda_{x,z} \wedge \Lambda_{y,z} &\longrightarrow \Lambda_{x+y,z} \end{aligned}$$

Ces deux lois vérifient alors des propriétés d'associativité, de commutativité (que le lecteur pourra écrire sans difficulté) et de compatibilité entre elles (qui traduit l'égalité des deux façons de développer $\Lambda_{x+y,x'+y'}$). On dit alors que Λ est une biextension de $G \times G$ par G_m . De plus Λ est muni d'un isomorphisme de symétrie $s : \tau^*\Lambda \simeq \Lambda$; on parle alors de biextension symétrique.

0.3. La notion de structure du cube, introduite par BREEN dans [3], explicite les notions précédentes. Une struture du cube sur un G_m -torseur L sur G est la donnée d'une trivialisaton t du G_m -torseur $\theta(L)$ sur G^3 telle que les lois partielles $*_1$ et $*_2$ induites par t sur $\Lambda(L)$ font de $\Lambda(L)$ une biextension symétrique.

0.4. Si $\pi : X \rightarrow S$ est une courbe relative lisse et J désigne la composante de degré 0 du schéma de Picard relatif $\text{PIC}(X/S)$, MORET-BAILLY déduit de l'existence d'une structure de biextension sur le faisceau de Poincaré \mathcal{P} sur $J \times J^V$ et de l'existence d'une polarisation canonique sur J l'existence d'une biextension \mathcal{B} canonique de $J \times J$ par G_m et il montre ensuite l'existence d'isomorphismes canoniques

(2)

$$\mathcal{B}_{\text{cl}(L), \text{cl}(M)} \simeq \det R\pi_*(L \otimes_{\mathcal{O}_X} M)^{-1} \otimes_{\mathcal{O}_S} \det R\pi_*(L) \otimes_{\mathcal{O}_S} \det R\pi_*(M) \otimes_{\mathcal{O}_S} \det R\pi_*(\mathcal{O}_X)^{-1}$$

0.5. DELIGNE propose dans [5] un programme dont une étape est la construction pour tout morphisme projectif plat de dimension $d : \pi : X \rightarrow S$, du fibré d'intersection relativement à S , de $d + 1$ faisceaux inversibles L_0, \dots, L_d sur X . Il s'agit de construire un \mathcal{O}_S -module inversible $I_{X/S}(L_1, \dots, L_{n+1})$, dont la construction est fonctorielle en les faisceaux L_i (pour les isomorphismes de faisceaux) et compatible aux changements de base et qui est multiplicatif en les faisceaux L_i . De façon précise, on veut construire un système d'isomorphismes:

(3) $I_{X/S}(L_1, \dots, L_i \otimes_{\mathcal{O}_X} L'_i, \dots, L_{n+1}) \simeq$

$$I_{X/S}(L_1, \dots, L_i, \dots, L_{n+1}) \otimes_{\mathcal{O}_S} I_{X/S}(L_1, \dots, L'_i, \dots, L_{n+1})$$

munis de données de commutativité, d'associativité et de compatibilité entre ces différentes lois partielles. Un tel faisceau d'intersection est construit par DELIGNE dans [4] dans le cas d'une courbe relative lisse et cette méthode est étendue par ELKIK dans [7] au cas des morphismes plats de Cohen-Macaulay purement de dimension n .

MORET-BAILLY propose une autre méthode dans [14] dans le cas des courbes lisses, construisant le faisceau d'intersection par la formule (2), basée sur le fibré déterminant, et montrant ensuite la multiplicativité de cette construction en utilisant la propriété d'autodualité de la jacobienne. Il explique ensuite comment étendre cette construction au cas de courbes de Cohen-Macaulay.

Enfin une autre construction est proposée par DELIGNE dans [5], basée sur des symboles. Cette idée est utilisée par AITKEN [1] dans le cas d'une courbe singulière quelconque sur une base réduite.

0.6. Dans ce travail on introduit une notion de structure du p -cube sur un foncteur entre deux catégories de Picard strictement commutatives, qui étend les définitions de BREEN à un cadre légèrement plus général (pour $p = 3$, si G est un groupe algébrique commutatif sur un corps k et L est un G_m -torseur sur G , une structure du 3-cube sur le foncteur $\delta : G \rightarrow \text{Vect}_k, g \mapsto L_g$ coïncide avec la définition, donnée par BREEN, d'une structure du cube sur L). La donnée d'une structure du p -cube sur un foncteur $\delta : \mathcal{C} \rightarrow \mathcal{D}$ entre catégories de Picard strictement commutatives munit la "différence symétrique $(p - 1)$ -ième de δ ", qui est un foncteur $\mathcal{C}^{p-1} \rightarrow \mathcal{D}$, de données d'additivité en chaque variables.

On applique ces notions au cas X/S est un schéma relatif projectif de dimension n quelconque sur une base localement noethérienne et δ est le foncteur déterminant de l'image directe dérivée $\text{PIC}(X/S) \rightarrow \text{PIC}(S)$. Le théorème principal de ce travail montre alors l'existence d'une structure du $(n + 2)$ -cube canonique sur δ . Sa démonstration est basée sur une récurrence sur la dimension des schémas considérés, qui construit une structure du $(n + 2)$ -cube sur le foncteur déterminant associé à un schéma relatif de dimension n à partir de la donnée de structures du $(n + 1)$ -cube sur le foncteur déterminant de tout sous-schéma relatif de X de dimension $n - 1$. Une telle récurrence impose donc, même si on veut montrer le résultat uniquement pour un schéma relatif lisse, de savoir le montrer pour des sous-schémas

qui n'ont aucune raison d'être lisses ou même simplement réduits et donc de travailler avec des schémas X/S assez généraux.

Ceci nous permet de montrer que le fibré d'intersection $I_{X/S} : PIC(X/S)^{n+1} \rightarrow PIC(S)$, défini, en suivant la méthode de MORET-BAILLY, comme la différence symétrique $(n+1)$ -ième du foncteur déterminant est bien muni de données d'additivité en chaque variable. On étudie alors une section canonique de $I_{X/S}(L_1, \dots, L_n)$ qui généralise la notion de résultant de n polynômes.

On a fait appel de façon systématique dans les raisonnements à une notion de n -cube dans une catégorie de Picard strictement commutative. Cette notion est de nature combinatoire et permet de représenter de manière commode des systèmes d'isomorphismes de la forme $a \otimes b \xrightarrow{\sim} c \otimes d$. Son seul intérêt est de permettre une représentation graphique des raisonnements de récurrence sur la dimension. Le défaut de cette approche est qu'il cache l'aspect géométrique lié à la notion de multiextension.

0.7. Plan de l'article.

1. Un exemple des méthodes utilisées: Les propriétés d'additivité en chaque variable du "nombre d'intersection" de plusieurs diviseurs.
2. Préliminaires techniques sur les diviseurs de Cartier relatifs et introduction d'une notion ad hoc de faisceau inversible suffisamment positif.
3. Rappels sur les catégories de Picard et introduction de la notion de structure du cube.
4. Présentation des catégories et foncteurs utilisés.
5. Théorème principal: l'existence d'une structure du cube sur le fibré déterminant.
6. Applications au fibré d'intersection. Construction et étude du résultant.

0.8. **Remerciements.** On reconnaîtra dans ce travail l'influence de Larry BREEN, qui m'a introduit dans ce domaine et qui m'a expliqué avec patience les subtilités des structures du cube. Je l'en remercie vivement.

1. UN EXEMPLE INTRODUCTIF

Soit X un schéma projectif. Pour tout entier p et tous faisceaux inversibles L_1, \dots, L_p sur X , posons:

$$\langle L_1, \dots, L_p \rangle_X = (-1)^p \chi(\mathcal{O}_X) + \sum_{k=1}^p (-1)^{p-k} \sum_{1 \leq i_1 < \dots < i_k \leq p} \chi(L_{i_1} \otimes \dots \otimes L_{i_k})$$

Si p est égal à la dimension n de X , on parlera alors de *nombre d'intersection* de L_1, \dots, L_n . Notons d'abord que la définition du nombre d'intersection est symétrique en les L_i et que pour tout entier k et tous faisceaux inversibles L_1, \dots, L_k, L, M , on a:

$$(4) \quad \langle L_1, \dots, L_{n-1}, L, M \rangle_X = \langle L_1, \dots, L_{n-1}, L \rangle_X + \langle L_1, \dots, L_{n-1}, M \rangle_X - \langle L_1, \dots, L_{n-1}, L \otimes M \rangle_X .$$

Le résultat suivant est bien connu (cf. par exemple [2], Th 1.4 pour le cas de la dimension 2), mais sa démonstration introduit dans un cadre simple les idées utilisées dans ce travail et il sera utilisé, dans sa reformulation (3.3.2) pour la démonstration du théorème principal.

1.0.1. Lemme. *Soit X un schéma projectif de dimension n , alors:*

1. *Le morphisme nombre d'intersection: $PIC(X)^n \rightarrow \mathbb{Z}$ est n -linéaire.*

2. Si $(\sigma_1, \dots, \sigma_n)$ est une suite régulière de sections de L_1, \dots, L_n , alors $\langle L_1, \dots, L_n \rangle_X$ est égal à la longueur du schéma Z , de dimension 0, des zéros de la section $\sigma = \sum_{i=1}^n \sigma_i : \mathcal{O}_X \rightarrow \bigoplus_{i=1}^n L_i$.

Preuve. 1. Il suffit de montrer par récurrence sur n que si X est un schéma de dimension n et si L_1, \dots, L_{n+1} sont $n+1$ faisceaux inversibles sur X , on a: $\langle L_1, \dots, L_{n+1} \rangle_X = 0$.

Cette assertion est évidente dans le cas d'un schéma de dimension 0 puisque dans ce cas, pour tout faisceau inversible L , on a $\chi(L) = \text{long}(X)$.

Supposons maintenant l'assertion vérifiée pour tout schéma de dimension inférieure ou égale à n et considérons un schéma projectif X de dimension n . Pour des faisceaux inversibles L_1, \dots, L_n et un diviseur effectif D , on a:

$$(5) \quad \langle L_1, \dots, L_n, \mathcal{O}_X(D) \rangle_X = (-1)^n (\chi(\mathcal{O}_X(D)) - \chi(\mathcal{O}_X)) \\ + \sum_{k=1}^n (-1)^{n-k} \sum_{1 \leq i_1 < \dots < i_k \leq n} (\chi(L_{i_1} \otimes \dots \otimes L_{i_k} \otimes \mathcal{O}_X(D)) - \chi(L_{i_1} \otimes \dots \otimes L_{i_k}))$$

En appliquant la propriété d'additivité de la caractéristique d'Euler-Poincaré à des suites exactes de la forme $0 \rightarrow L \rightarrow L(D) \rightarrow L(D)/L \rightarrow 0$ et en identifiant $\chi_X(L(D)/L)$ et $\chi_D(L(D)|_D)$, on en déduit:

$$\langle L_1, \dots, L_n, \mathcal{O}_X(D) \rangle_X = \langle L_1(D)|_D, \dots, L_n(D)|_D \rangle_D$$

En appliquant l'hypothèse de récurrence au diviseur effectif D , on obtient donc:

$$(6) \quad \langle L_1, \dots, L_n, \mathcal{O}_X(D) \rangle_X = 0$$

On en déduit donc, pour tout diviseur effectif D , les égalités:

$$(7) \quad \langle L_1, \dots, L_{n-1}, L_n(D) \rangle_X = \langle L_1, \dots, L_{n-1}, L_n \rangle_X + \langle L_1, \dots, L_{n-1}, \mathcal{O}_X(D) \rangle_X$$

et

$$(8) \quad \langle L_1, \dots, L_i \otimes L'_i, \dots, L_{n-1}, \mathcal{O}_X(D) \rangle_X \\ = \langle L_1, \dots, L'_i, \dots, L_{n-1}, \mathcal{O}_X(D) \rangle_X + \langle L_1, \dots, L_i, \dots, L_{n-1}, \mathcal{O}_X(D) \rangle_X$$

Comme X est projectif, si L_n est un faisceau inversible sur X , il peut s'écrire $\mathcal{O}_X(D - E)$, où D et E sont des diviseurs effectifs. On obtient alors en appliquant (7):

$$\langle L_1, \dots, L_{n-1}, L_n \rangle_X = \langle L_1, \dots, L_{n-1}, \mathcal{O}_X(D) \rangle_X - \langle L_1, \dots, L_{n-1}, \mathcal{O}_X(E) \rangle_X$$

En appliquant (8) à chacun des termes de droite de l'égalité précédente, on obtient l'additivité de $\langle L_1, \dots, L_{n-1}, L_n \rangle_X$ en chacune des variables L_1, \dots, L_{n-1} , et donc, par symétrie, en toutes les variables.

2. Considérons le complexe de Koszul:

$$K_\bullet : 0 \rightarrow \Lambda^n(E) \rightarrow \Lambda^{n-1}(E) \rightarrow \dots \rightarrow E \rightarrow \mathcal{O}_X \rightarrow \mathcal{O}_X/I_Z \rightarrow 0$$

associé au morphisme $\sigma^\vee : E = \bigoplus_{i=1}^n L_i^{-1} \rightarrow \mathcal{O}_X$. Par hypothèse, K_\bullet est exact, donc $\chi(K_\bullet) = 0$ et le résultat s'en déduit, compte tenu de l'isomorphisme

$$\Lambda^p(E) \simeq \bigoplus_{1 \leq i_1 < \dots < i_p \leq n} L_{i_1} \otimes \dots \otimes L_{i_p}.$$

□

Dans la suite de ce travail on étudiera, non plus une application ensembliste de $\text{Pic}(X)^n$ dans \mathbb{Z} , mais un foncteur de la catégorie de Picard $\text{PIC}(X)$ dans une autre catégorie de Picard, et les difficultés proviennent de la nécessité de faire des constructions fonctorielles.

2. PRÉLIMINAIRES TECHNIQUES

Dans cette partie nous détaillons quelques propriétés des sections d'un faisceau inversible sur un schéma relatif et nous introduisons une notion technique de faisceau suffisamment positif, utile par la suite. S est ici un schéma localement noethérien et $\pi : X \rightarrow S$ est un morphisme projectif et plat.

2.1. Diviseur relatif défini par une section d'un fibré. Soit L un faisceau inversible sur le schéma relatif X/S , une section $\sigma : \mathcal{O}_X \rightarrow L$ de L sera dite π -régulière si elle définit elle-même un diviseur de Cartier relatif effectif de X/S . σ est π -régulière si et seulement si pour tout point $x \in X$, $\sigma(\mathcal{O}_{X,x}) \subset L_x$ est un $\mathcal{O}_{X,x}$ -module plat et le quotient $(L \otimes_{\mathcal{O}_X} \mathcal{O}_{X,x}) / \sigma(\mathcal{O}_{X,x})$ est un $\mathcal{O}_{S,\pi(x)}$ -module plat.

L'ensemble U' des points x de X vérifiant ces deux propriétés apparaît comme un ensemble de platitude et est donc un ouvert de X par ([9], 11.1.1). Notons Z' le complémentaire de U' . Comme π est projectif, $Z = \pi(Z')$ est un fermé de S dont nous noterons U le complémentaire. Le théorème [13], 22.5 entraîne que si $A \rightarrow B$ est un morphisme d'anneaux locaux et k désigne le corps résiduel de A , pour tout $u \in B$, on a l'équivalence des assertions:

1. u est non diviseur de zéro dans B et B/uB est un A -module plat.
2. $u \otimes_A 1$ est non diviseur de zéro dans $B \otimes_A k$.

On déduit de ceci qu'un point s de S est dans U si et seulement si $\sigma|_{X_s}$ définit un diviseur de Cartier sur X_s , soit encore si σ ne s'annule sur aucun point associé de X_s .

2.2. Suites régulières. Soient L_1, \dots, L_p des faisceaux inversibles sur X , muni de sections σ_i . Notons D_i le lieu des zéros de σ_i . On dira que la suite (ordonnée) $(\sigma_1, \dots, \sigma_p)$ est une *suite π -régulière* si les deux conditions suivantes sont vérifiées:

1. $D_1 \cap \dots \cap D_p \neq \emptyset$.
2. Pour tout entier i compris entre 1 et p , σ_i définit une section π -régulière sur le schéma relatif $D_1 \cap \dots \cap D_{i-1}/S$, si $i > 1$, ou sur X/S , si $i = 1$.

On notera que

1. Si $(\sigma_1, \dots, \sigma_p)$ est une suite π -régulière, alors pour tout $1 \leq i \leq p$, $D_1 \cap \dots \cap D_i$ est plat sur S .
2. Soit $(\sigma_1, \dots, \sigma_p)$ une suite de sections de (L_i) , le sous-ensemble de S au dessus duquel $(\sigma_1, \dots, \sigma_p)$ est une suite régulière est un ouvert de S .

2.3. Faisceaux inversibles suffisamment positifs. On dira qu'un faisceau inversible L sur X est *suffisamment positif* (on notera $L \gg 0$) si L est très ample relativement à π et si pour tout $i > 0$, on a $R^i \pi_* L = 0$. Ces faisceaux vérifient les propriétés suivantes:

2.3.1. La propriété pour un faisceau inversible d'être suffisamment positif est conservée par tout changement de base $f : T \rightarrow S$. Ceci résulte de l'invariance par changement de base de la notion de faisceau relativement très ample ([8], 4.4.10,iii) et du théorème de changement de base dans la cohomologie ([10], 12.11).

2.3.2. Si L_1, \dots, L_k sont des faisceaux inversibles sur X , il existe des faisceaux inversibles suffisamment positifs M_1, \dots, M_k tels que les $L_i \otimes_{\mathcal{O}_X} M_i$ sont tous isomorphes et suffisamment positifs. En effet si M est un faisceau inversible très ample relativement à π , pour tout faisceau inversible L , il existe un entier N tel que pour tout $n \geq N$, on a $L \otimes_{\mathcal{O}_X} M^{\otimes n} \gg 0$ ([8], 4.4.10.ii) et [10], th III.8.8.c). En appliquant ceci aux faisceaux $\bigotimes_{j \neq i} L_j$ pour $1 \leq i \leq k$ et $L_1 \otimes \dots \otimes L_k$

on trouve un entier n tel que les faisceaux $\left(\bigotimes_{j \neq i} L_j\right) \otimes M^{\otimes n}$ et $\left(\bigotimes_{1 \leq j \leq k} L_j\right) \otimes M^{\otimes n}$ soit suffisamment positifs. Il suffit alors de prendre $M_i = \left(\bigotimes_{j \neq i} L_j\right) \otimes M^{\otimes n}$.

2.3.3. Si L est suffisamment positif, π_*L est un faisceau localement libre sur S et pour tout $s \in S$, la fibre $(\pi_*L)_s$ est isomorphe à $H^0(X_s, L)$ (ceci résulte du théorème de changement de base [10],12.11). Si de plus X est à fibres de dimension au moins 1, π_*L est de rang au moins 2.

2.4. **Le diviseur universel d'un faisceau suffisamment positif.** Si L est suffisamment positif, $E = (\pi_*L)^\vee$ est un \mathcal{O}_X -module localement libre. Considérons alors le fibré projectif $P_L = \mathbb{P}(E)$ et effectuons le changement de base:

$$\begin{array}{ccc} X_{P_L} & \xrightarrow{g} & X \\ \pi \downarrow & & \downarrow \pi \\ P_L & \xrightarrow{f} & S \end{array}$$

Par définition de P_L , on a un morphisme surjectif $f^*E \twoheadrightarrow \mathcal{O}_{P_L}(1)$, qui induit un morphisme $\mathcal{O}_{P_L}(-1) \hookrightarrow (f^*E)^\vee$. Or on a $(f^*E)^\vee = f^*(E^\vee) = f^*(\pi_*L) = \pi_*(g^*L)$, où la dernière égalité provient de l'hypothèse $L \gg 0$. Le morphisme $\mathcal{O}_{P_L}(-1) \hookrightarrow \pi_*(g^*L)$ ainsi obtenu induit par adjonction un morphisme $\pi^*\mathcal{O}_{P_L}(-1) \rightarrow g^*L$. On obtient donc finalement une section canonique σ_L de $g^*L \otimes \pi^*\mathcal{O}_{P_L}(1)$. En appliquant au schéma relatif X_{P_L}/P_L les constructions de la section (2.1), on construit un ouvert U_L de P_L , au dessus duquel σ_L définit un diviseur de Cartier relatif D_L et on note Z_L son complémentaire. On obtient ainsi un isomorphisme canonique $(L \otimes \pi^*\mathcal{O}_{P_L}(1))|_{X_{U_L}} \simeq \mathcal{O}(D_L)$. La situation est décrite par le diagramme suivant:

$$\begin{array}{ccccc} & (L \otimes \pi^*\mathcal{O}_{P_L}(1) \simeq \mathcal{O}(D_L)) & & (\mathcal{O}_X \xrightarrow{\sigma_L} L \otimes \pi^*\mathcal{O}_{P_L}(1)) & & L \\ & \vdots & & \vdots & & \vdots \\ D_L \subset & \xrightarrow{\quad} & X_{U_L} & \xrightarrow{\quad} & X_{P_L} & \xrightarrow{\quad} & X \\ & \searrow & \downarrow & & \downarrow & & \downarrow \pi \\ & & U_L \subset & \xrightarrow{\quad} & P_L & \xrightarrow{\quad} & S \end{array}$$

2.4.1. Lemme. *Pour tout point s de S , la fibre de Z_L au dessus de s est une union finie de sous-espaces linéaires propres de $P_{L,s}$.*

Preuve. En effet, soit $s \in S$, on déduit de (2.1) l'égalité:

$$Z_{L,s} = \bigcup_{x \in \text{Ass}(X_s)} \mathbb{P}(\{\sigma \in H^0(X_s, L) \mid \sigma(x) = 0\}) \subset \mathbb{P}(H^0(X_s, L)) = (P_L)_s$$

L'ensemble des points associés de X_s est fini puisque X_s est projectif et comme $L|_{X_s}$ est très ample, pour tout $x \in \text{Ass}(X_s)$, l'inclusion $\{\sigma \in H^0(X_s, L) \mid \sigma(x) = 0\} \subset H^0(X_s, L)$ est stricte. \square

2.4.2. Donnons nous de plus une suite π -régulière de sections $(\sigma_i)_{i=1,\dots,p}$ de faisceaux inversibles L_i sur X . Soit V l'ouvert de U_L au dessus duquel $(\sigma_1, \dots, \sigma_p, \sigma_L)$ est une suite π -régulière et notons Y son complémentaire.

2.4.3. Lemme. *Pour tout point s de S , la fibre de Y au dessus de s est contenue dans une union finie de sous-espaces linéaires propres de $(P_L)_s$.*

Preuve. Soit D le lieu des zéros de la section $\bigoplus \sigma_i$ de $\bigoplus L_i$. Un point $u \in U_L$ est élément de V si et seulement si $\sigma|_{D_u}$ définit un diviseur de Cartier effectif sur D_u . On raisonne donc comme pour le lemme précédent en écrivant:

$$Y_s = \bigcup_{x \in \text{Ass}(D_s)} \mathbb{P}\{\sigma \in H^0(X_s, L) \mid \sigma(x) = 0\}$$

□

3. STRUCTURE DU CUBE SUR DES CATÉGORIES DE PICARD

Si (\mathcal{C}, \otimes) et (\mathcal{D}, \otimes) sont des catégories de Picard strictement commutatives et δ est un foncteur de \mathcal{C} vers \mathcal{D} , on définit ici la notion de structure du cube sur δ .

3.1. Rappels sur les catégories de Picard commutatives.

3.1.1. *Définitions.* Une *catégorie de Picard* est une catégorie \mathcal{C} dont toutes les flèches sont des isomorphismes, et qui est munie d'un bifoncteur $\otimes : \mathcal{C} \times \mathcal{C} \rightarrow \mathcal{C}$ tel que, pour tout $L \in \text{ob}(\mathcal{C})$, les foncteurs $X \mapsto L \otimes X$ et $X \mapsto X \otimes L$ soient des équivalences de catégories, et munie de plus de données d'associativité pour \otimes , c'est à dire d'un système fonctoriel d'isomorphismes

$$(L \otimes M) \otimes N \simeq L \otimes (M \otimes N)$$

vérifiant des conditions de compatibilité décrites par l'axiome du pentagone.

Une catégorie de Picard \mathcal{C} est dite *commutative* si elle est munie de plus de données de commutativité, c'est à dire d'un système fonctoriel d'isomorphismes

$$L \otimes M \xrightarrow{\sim} M \otimes L$$

compatible avec les données d'associativité (axiome de l'hexagone). On prendra garde que l'isomorphisme de commutativité $L \otimes L \xrightarrow{\sim} L \otimes L$ n'est en général pas le morphisme identité (quand c'est le cas pour tout L , on dit que la catégorie est *strictement commutative*).

On déduit des axiomes d'une catégorie de Picard commutative l'existence d'un objet unité \mathcal{O} , munis de morphismes $L \otimes \mathcal{O} \rightarrow L \leftarrow \mathcal{O} \otimes L$ compatibles aux contraintes de commutativité. On obtient de même l'existence à isomorphismes uniques près d'objets inverses L^\vee munis de morphismes $L \otimes L^\vee \rightarrow \mathcal{O} \leftarrow L^\vee \otimes L$.

3.1.2. *Produit d'une famille indexée par un ensemble fini.* Soit $(L_i)_{i \in I}$ une famille d'objets d'une catégorie de Picard \mathcal{C} indexés par un ensemble fini I . Si I est muni d'un ordre total $<$, les données d'associativité de \mathcal{C} permettent de définir de façon fonctorielle un objet $\bigotimes_{I, <} L_i$ de \mathcal{C} .

Supposons maintenant que \mathcal{C} est une catégorie de Picard commutative. Si $<_1$ et $<_2$ sont deux ordres totaux sur I , les données de commutativité de \mathcal{C} déterminent un isomorphisme $\bigotimes_{I, <_1} L_i \xrightarrow{\sim} \bigotimes_{I, <_2} L_i$. On peut alors définir $\bigotimes_{i \in I} L_i$ comme la limite inductive (ou projective) des $\bigotimes_{I, <} L_i$ sur tous les ordres totaux $<$ sur I . Pour définir un morphisme $\bigotimes_{i \in I} L_i \rightarrow M$ dans \mathcal{C} , il suffira donc de choisir un ordre $<$ sur I et de définir un morphisme

$\bigotimes_{I, <} L_i \longrightarrow M$. Par ailleurs pour deux ensembles d'indices disjoints I et J , on a un isomorphisme canonique $\bigotimes_{i \in I} L_i \otimes \bigotimes_{i \in J} L_i \simeq \bigotimes_{i \in I \cup J} L_i$, obtenu en considérant un ordre sur $I \cup J$ tel que $I < J$ et les ordres induits sur I et J .

3.1.3. *Foncteur additif.* Soit $F : \mathcal{C} \longrightarrow \mathcal{D}$ un foncteur additif entre deux catégories de Picard, une donnée d'additivité μ pour F sera la donnée pour tout couple d'objets $L, M \in \mathcal{C}$ d'un isomorphisme fonctoriel en L et M :

$$\mu_{L, M} : F(L) \otimes F(M) \longrightarrow F(L \otimes M)$$

La donnée d'additivité μ sera dite compatible aux données d'associativité de \mathcal{C} et \mathcal{D} si le diagramme suivant, dont les flèches verticales sont données par les morphismes d'associativité de \mathcal{C} et \mathcal{D}

$$\begin{array}{ccccc} F(L) \otimes (F(M) \otimes F(N)) & \xrightarrow{\text{Id} \otimes \mu} & F(L) \otimes F(M \otimes N) & \xrightarrow{\mu} & F(L \otimes (M \otimes N)) \\ \downarrow & & & & \downarrow \\ (F(L) \otimes F(M)) \otimes F(N) & \xrightarrow{\mu \otimes \text{Id}} & F(L \otimes M) \otimes F(N) & \xrightarrow{\mu} & F((L \otimes M) \otimes N) \end{array}$$

est commutatif.

Si de plus \mathcal{C} et \mathcal{D} sont des catégories de Picard commutatives, μ sera dite compatible aux données de commutativité de \mathcal{C} et \mathcal{D} si le diagramme

$$\begin{array}{ccc} F(L) \otimes F(M) & \longrightarrow & F(L \otimes M) \\ \downarrow & & \downarrow \\ F(M) \otimes F(L) & \longrightarrow & F(M \otimes L) \end{array}$$

est commutatif (les flèches verticales sont données par les morphismes de commutativité de \mathcal{C} et \mathcal{D}).

3.2. **n-Cube dans une catégorie de Picard strictement commutative.** On introduit ici une notion de nature combinatoire, qui traduit des calculs de fractions, du genre $ab^{-1} = cd^{-1}$, dans une catégorie de Picard strictement commutative \mathcal{C} , en indexant des objets de \mathcal{C} par les sommets de différents hypercubes de \mathbb{R}^n , ce qui nous permettra dans la suite de représenter graphiquement certains raisonnements.

3.2.1. *Cubes standard de \mathbb{R}^n .* Pour tout entier positif n , on considère l'ensemble $C_n = \{0, 1\}^n$ des sommets du n-cube standard de \mathbb{R}^n .

On considérera pour tout entier $i \leq n$, les inclusions de C_{n-1} dans C_n : $\phi'_i : (s_1, \dots, s_{n-1}) \mapsto (s_1, \dots, s_{i-1}, 0, s_{i+1}, \dots, s_n)$ et $\phi''_i : (s_1, \dots, s_{n-1}) \mapsto (s_1, \dots, s_{i-1}, 1, s_{i+1}, \dots, s_n)$. L'image de C_{n-1} par ϕ'_i (resp. ϕ''_i) sera appelée la i -ème $(n-1)$ -face arrière (resp. avant) de C_n . De même, soient $\varepsilon_1, \dots, \varepsilon_k \in \{0, 1\}$ et des indices distincts $i_1, \dots, i_k \leq n$, on peut considérer l'inclusion $\phi_{i_1=\varepsilon_1, \dots, i_k=\varepsilon_k}$ de C_{n-k} dans C_n .

Pour tout sommet $s = (s_1, \dots, s_n) \in C_n$, on notera $\varepsilon(s) = (-1)^{n-\sum s_i}$.

Enfin il sera commode d'introduire un ordre total sur les sommets de C_n par:

$$(s \leq s') \Leftrightarrow \begin{cases} \sum s_i < \sum s'_i \\ \text{ou} \\ (\sum s_i = \sum s'_i) \text{ et } (\exists i \leq n, (s_i > s'_i) \text{ et } (\forall j < i, s_j = s'_j)) \end{cases}$$

On notera que l'ordre induit par \leq sur une k -face du cube C_n est encore l'ordre \leq sur C_k .

3.2.2. *Arrangements cubiques.* On appellera alors n -arrangement cubique dans une catégorie de Picard commutative \mathcal{C} la donnée de 2^n objets K_s indexés par les sommets de C_n .

Toute permutation $\sigma \in S_n$ agit sur \mathbb{R}^n par permutation des coordonnées, et induit donc $\sigma : C_n \rightarrow C_n$. Pour tout n -arrangement cubique K dans \mathcal{C} , on notera alors σ^*K le composé de K avec la permutation de C^n induite par σ .

Pour tout n -arrangement cubique K et tout entier $1 \leq i \leq n$, on considérera alors les $(n-1)$ -arrangements cubiques $\phi_i'^*K$ et $\phi_i''^*K$ (i -ème face arrière et avant de K). Si A et B sont deux $(n-1)$ -arrangements cubiques, on notera pour tout indice $1 \leq i \leq n$, $(A \xrightarrow{i} B)$ le n -arrangement cubique tel que $\phi_i'^*K = A$ et $\phi_i''^*K = B$. De même, si A_{00} , A_{01} , A_{10} et A_{11} sont des $(n-2)$ -arrangements cubiques, on utilisera, pour deux indices distincts $1 \leq i, j \leq n$,

la notation $K = \left(\begin{array}{ccc} A_{01} & \xrightarrow{\quad} & A_{11} \\ j \downarrow & & \downarrow \\ A_{00} & \xrightarrow{i} & A_{10} \end{array} \right)$ pour désigner le n -arrangement cubique K tel que

$$\phi_{i=\varepsilon, j=\varepsilon'} = A_{\varepsilon, \varepsilon'}, \forall \varepsilon, \varepsilon' \in \{0, 1\}.$$

Soient A et B deux n -arrangements cubiques tels que $\phi_i'^*A = \phi_i''^*B$. Ecrivons les alors sous la forme: $A = (U \xrightarrow{i} V)$ et $B = (V \xrightarrow{i} W)$ et posons:

$$(U \xrightarrow{i} V) *_i (V \xrightarrow{i} W) = (U \xrightarrow{i} W)$$

On dira que $A *_i B$ est obtenu par recollement de A et B le long de leur i -ème face.

3.2.3. Soit δ un foncteur de \mathcal{C} dans une catégorie de Picard commutative \mathcal{D} , pour tout n -arrangement cubique K dans \mathcal{C} , on pose

$$\delta(K) = \bigotimes_{s \in C_n} \delta(K_s)^{\varepsilon(s)}$$

Si A et B sont des n -arrangements cubiques recollables dans la i -ème direction, les isomorphismes de commutativité et de contraction dans \mathcal{D} induisent un isomorphisme canonique

$$\delta(A *_i B) \xrightarrow{\sim} \delta(A) \otimes \delta(B)$$

Pour toute permutation $\sigma \in S_n$, les isomorphismes de commutativité dans \mathcal{D} induisent de même:

$$\delta(\sigma^*A) \xrightarrow{\sim} \sigma(A)$$

Ces deux isomorphismes sont compatibles entre eux, ce qu'on exprime en disant que le diagramme suivant est commutatif:

$$\begin{array}{ccccc} \delta(\sigma^*(A *_i B)) & \longleftarrow & \delta(A *_i B) & \longrightarrow & \delta(A) \otimes \delta(B) \\ \downarrow & & & & \downarrow \\ \delta(\sigma^*A *_i \sigma^*B) & \longrightarrow & & \longrightarrow & \delta(\sigma^*A) \otimes \delta(\sigma^*B) \end{array}$$

3.2.4. *Cubes dans la catégorie de Picard strictement commutative \mathcal{C} .* On appellera 1-cube dans \mathcal{C} un 1-arrangement cubique quelconque $(L \xrightarrow{\quad} M)$.

On appellera 2-cube (carré) dans \mathcal{C} la donnée d'un 2-arrangement cubique K et d'un isomorphisme $m_K : \mathcal{O} \xrightarrow{\sim} \bigotimes_{s \in C_2} K_s^{\varepsilon(s)}$.

On appellera 3-cube dans \mathcal{C} la donnée d'un 3-arrangement cubique

$$K = \left(\begin{array}{ccccc} & & K_{001} & \text{---} & K_{011} \\ & & | & & | \\ K_{101} & \text{---} & & \text{---} & K_{111} \\ & & | & & | \\ & & K_{000} & \text{---} & K_{010} \\ & & | & & | \\ K_{100} & \text{---} & & \text{---} & K_{110} \end{array} \right),$$

et pour chacune des six 2-faces F de K , d'un isomorphisme $m_F : \mathcal{O} \xrightarrow{\sim} \bigotimes_{s \in F} K_s^{\varepsilon(s)}$ qui vérifient la condition de compatibilité suivante: Si F désigne l'une des faces de K et F' désigne la face opposée, on dispose alors d'un morphisme:

$$\mathcal{O} \longrightarrow \mathcal{O} \otimes \mathcal{O} \xrightarrow{m_F \otimes m_{F'}} \bigotimes_{s \in F} K_s^{\varepsilon(s)} \otimes \bigotimes_{s \in F'} K_s^{\varepsilon(s)} \longrightarrow \bigotimes_{s \in K} K_s^{\varepsilon(s)}$$

On impose que le morphisme ainsi obtenu soit indépendant du choix de la face F .

Pour $n \geq 3$, un n -cube dans \mathcal{C} sera la donnée d'un n -arrangement cubique K et d'un isomorphisme m_F associé à chaque 2-face F de K , tel que tout sous 3-arrangement cubique de K est un cube.

3.2.5. *Construction de cubes.* (a) Pour tout n -cube K dans \mathcal{C} , tout objet L de \mathcal{C} et tout indice $1 \leq i \leq n$, on munit le $(n+1)$ -arrangement cubique $(K \xrightarrow[i]{\text{---}} K \otimes L) = A$ d'un système de morphismes m_F associés à chaque 2-face de A , qui en fait un n -cube:

Si F n'est pas parallèle à la direction i , elle appartient à l'un des deux n -cubes K ou de $K \otimes L$ et est donc déjà muni d'un morphisme m_F . Sinon elle s'écrit $F = \left(\begin{array}{ccc} Y & \text{---} & Y \otimes L \\ j \downarrow & & \downarrow \\ X & \xrightarrow[i]{\text{---}} & X \otimes L \end{array} \right)$

avec $X, Y \in \text{ob}(\mathcal{C})$ et les morphismes de commutativité et d'associativité de \mathcal{C} induisent un morphisme $m_F : (X \otimes L) \otimes Y \xrightarrow{\sim} X \otimes (Y \otimes L)$. On vérifie sans peine, en se ramenant au cas où K est un cube, que les relations de compatibilité de (3.2.4) entre les m_F sont vérifiées.

(b) Pour tout $n > 0$, construisons un n -cube $K \xrightarrow{\sim} K_{L_0}(L_1, \dots, L_n)$ de la manière suivante: On pose $K_{L_0}(L_1) = (L_0 \xrightarrow[1]{\text{---}} L_0 \otimes L_1)$ et par récurrence

$$K_{L_0}(L_1, \dots, L_{n+1}) = (K_{L_0}(L_1, \dots, L_n) \xrightarrow[n+1]{\text{---}} K_{L_0}(L_1, \dots, L_n) \otimes L_{n+1}).$$

On a alors, pour tout $s \in C_n$:

$$(K_{L_0}(L_1, \dots, L_n))_s = L_0 \otimes \left(\bigotimes_{i=1}^n L_i^{s_i} \right).$$

(c) Notons enfin que si K est un n -cube, si K_0 désigne le $(n-1)$ -cube $(\phi'_i)^* K$, il existe un objet L de \mathcal{C} et un isomorphisme $K \xrightarrow{\sim} (K_0 \xrightarrow[i]{\text{---}} K_0 \otimes L)$, uniques à isomorphisme unique près. On en déduit donc qu'il existe des objets L_0, \dots, L_n et un isomorphisme $K \xrightarrow{\sim}$

$K_{L_0}(L_1, \dots, L_n)$, uniques à isomorphisme unique près. On dira que l'objet L_i est la i -ème arête de K .

3.2.6. Recollement de cubes. Considérons deux n -cubes K et K' dans \mathcal{C} tels que les deux sous-cubes $\phi_i'^*(K)$ et $\phi_i^*(K')$ sont égaux en tant que cubes. Munissons le n -arrangement cubique $K *_i K'$ d'un système de morphismes m_F , pour chaque 2-face F de $K *_i K'$, en faisant un n -cube: Si F n'est pas parallèle à la direction i , F est une 2-face de l'un des deux n -cubes K ou K' et on prend le m_F correspondant. Si F est parallèle à la direction i , elle est obtenue en recollant une 2-face de K et une de K' :

$$\begin{array}{ccc} \begin{array}{ccc} c & \text{---} & d \\ | & & | \\ a & \text{---} & b \\ & i & \end{array} & *_i & \begin{array}{ccc} d & \text{---} & f \\ | & & | \\ b & \text{---} & e \\ & i & \end{array} = \begin{array}{ccc} c & \text{---} & f \\ | & & | \\ a & \text{---} & e \\ & i & \end{array} \\ & & \begin{array}{c} F \\ \end{array} \end{array}$$

et le morphisme m_F est défini par:

$$\mathcal{O} \xrightarrow{\sim} \mathcal{O} \otimes \mathcal{O} \xrightarrow{\sim} (a \otimes b^\vee \otimes c^\vee \otimes d) \otimes (b \otimes e^\vee \otimes d^\vee \otimes f) \xrightarrow{\sim} (a \otimes c^\vee \otimes c^\vee \otimes f)$$

Pour montrer que ces m_F vérifient les relations de compatibilité, il suffit de le faire dans le cas d'un recollement de deux 3-cubes K et K' le long d'une 2-face commune F . Cela provient alors immédiatement du fait que, par hypothèse, K et K' sont des cubes et les morphismes m_F et m'_F associés à F , vu comme face de K et K' , sont les mêmes.

3.3. Structure de n -cube. Soient \mathcal{C} et \mathcal{D} des catégories de Picard strictement commutatives et $\delta : \mathcal{C} \rightarrow \mathcal{D}$ un foncteur.

3.3.1. Définition. Une structure de n -cube sur le foncteur δ est la donnée pour tout n -cube K de \mathcal{C} d'un morphisme $\psi_K : \mathcal{O} \xrightarrow{\sim} \delta(K)$ dans \mathcal{D} vérifiant les propriétés suivantes:

1. *Fonctorialité.* Pour tout isomorphisme de n -cubes $f : K \xrightarrow{\sim} K'$, le diagramme induit

$$\begin{array}{ccc} & & \delta(K) \\ & \nearrow \psi_K & \downarrow \delta(f) \\ \mathcal{O} & & \delta(K') \\ & \searrow \psi_{K'} & \end{array}$$

est commutatif.

2. *Recollements de cubes.* Soient K et K' deux n -cubes ayant leur i -ème $(n-1)$ -face en commun, l'isomorphisme naturel $\delta(K) \otimes \delta(K') \xrightarrow{\sim} \delta(K *_i K')$ induit un diagramme commutatif:

$$\begin{array}{ccc} & & \delta(K) \otimes \delta(K') \\ & \nearrow \psi_K \otimes \psi_{K'} & \downarrow \\ \mathcal{O} & & \delta(K *_i K') \\ & \searrow \psi_{(K *_i K')} & \end{array}$$

3. *Propriété de symétrie.* Pour tout élément σ de S_n , le diagramme suivant, dont la flèche verticale est donnée par les isomorphismes de commutativité de \mathcal{D} , est commutatif:

$$\begin{array}{ccc} & & \delta(K) \\ & \nearrow \psi_K & \downarrow \\ \mathcal{O} & & \\ & \searrow \psi_{\sigma^*K} & \\ & & \delta(\sigma^*K) \end{array}$$

3.3.2. Exemple. Soit X un schéma projectif de dimension n , considérons les catégories $\mathcal{C} = \text{PIC}(X)$ et $\mathcal{D} = \mathbb{Z}$ (catégorie discrète) et le foncteur $\delta : \mathcal{C} \rightarrow \mathcal{D}, L \mapsto \chi(L)$. On a vu (Lemme 1.0.1) que δ est muni d'une structure du $(n+1)$ -cube.

3.4. Le n -foncteur multilinéaire associé à une structure du $(n+1)$ -cube.

3.4.1. Considérons un foncteur $\delta : \mathcal{C} \rightarrow \mathcal{D}$ entre deux catégories de Picard strictement commutatives. Pour tout $(n-1)$ -cube K dans \mathcal{C} et tout entier $1 \leq i \leq n$, définissons un foncteur:

$$\Lambda_{K,i} : \mathcal{C} \rightarrow \mathcal{D}, L \mapsto \delta(K \underset{i}{\text{---}} K \otimes L).$$

De même, pour tout objet L de \mathcal{C} , définissons un n -foncteur:

$$\Lambda_L : \mathcal{C}^n \rightarrow \mathcal{D}, (L_1, \dots, L_n) \mapsto \delta(K_L(L_1, \dots, L_n)).$$

3.4.2. Remarque. Λ_L est canoniquement muni de données de symétrie $\Lambda_L \xrightarrow{\sim} \sigma^* \Lambda_L$, pour tout $\sigma \in S^n$.

3.4.3. Remarque. Pour tout entier $1 \leq i \leq n$ on peut identifier canoniquement:

$$\Lambda_L(L_1, \dots, L_n) \xrightarrow{\sim} \Lambda_{K_L(L_1, \dots, L_{i-1}, L_{i+1}, \dots, L_n), i}(L_i)$$

3.4.4. Donnons nous une structure de $(n+1)$ -cube S sur δ . Remarquons d'abord que S induit, pour tous $L, M \in \text{Ob}(\mathcal{C})$, un isomorphisme canonique de foncteurs $\Lambda_L \xrightarrow{\sim} \Lambda_M$. En effet, pour tous $L, L_1, \dots, L_n \in \text{Ob}(\mathcal{C})$, on a $K_L(L_1, \dots, L_n) \simeq K_{\mathcal{O}}(L_1, \dots, L_n) \otimes L$ et la structure du cube S , appliquée au $(n+1)$ -cube $(K_{\mathcal{O}}(L_1, \dots, L_n) \underset{n+1}{\text{---}} K_{\mathcal{O}}(L_1, \dots, L_n) \otimes L)$ établit donc un isomorphisme canonique:

$$\delta(K_{\mathcal{O}}(L_1, \dots, L_n)) \xrightarrow{\sim} \delta(K_L(L_1, \dots, L_n))$$

On peut donc désormais parler du foncteur Λ (en omettant l'indice L).

3.4.5. La donnée de la structure du cube sur δ permet de munir chaque foncteur $\Lambda_{K,i}$ d'une donnée d'additivité:

$$\mu_{K,i} : \Lambda_{K,i}(L) \otimes \Lambda_{K,i}(M) \xrightarrow{\sim} \Lambda_{K,i}(L \otimes M)$$

définie par:

$$(9) \quad \Lambda_{K,i}(L) \otimes \Lambda_{K,i}(M) = \delta(K \xrightarrow{i} K \otimes L) \otimes \delta(K \xrightarrow{i} K \otimes M) \xrightarrow{\sim} \\ \delta(K \xrightarrow{i} K \otimes L) \otimes \delta(K \xrightarrow{i} K \otimes M) \otimes \delta \left(\begin{array}{ccc} K \otimes M & \xrightarrow{\quad} & K \otimes (L \otimes M) \\ i+1 \downarrow & & \downarrow \\ K & \xrightarrow{i} & K \otimes L \end{array} \right) \\ \xrightarrow{\sim} \delta(K \xrightarrow{i} K \otimes (L \otimes M)) = \Lambda_{K,i}(L \otimes M)$$

En utilisant l'identification 3.4.3, on voit que S munit Λ de $n + 1$ données d'additivité partielles:

$$*_i : \Lambda(L_1, \dots, L_{i-1}, L_i, L_{i+1}, \dots, L_n) \otimes \Lambda(L_1, \dots, L_{i-1}, L'_i, L_{i+1}, \dots, L_n) \\ \longrightarrow \Lambda(L_1, \dots, L_{i-1}, L_i \otimes L'_i, L_{i+1}, \dots, L_n).$$

3.4.6. Remarque. On notera que la catégorie de Picard \mathcal{D} étant *strictement* commutative, le diagramme:

$$\begin{array}{ccc} (A^\vee \otimes A) \otimes A^\vee & & \\ \downarrow & \searrow & \\ & & A^\vee \\ \downarrow & \nearrow & \\ A^\vee \otimes (A \otimes A^\vee) & & \end{array}$$

est commutatif, ce qui permet de ne pas préciser comment on effectue les contractions dans (9).

3.4.7. Lemme. *Les données d'additivité $\mu_{K,i}$ pour $\Lambda_{K,i}$ sont compatibles aux données d'associativité et de commutativité de \mathcal{C} et \mathcal{D} .*

Preuve. Ces deux assertions se traduisent en disant que si L , M et N sont des objets de \mathcal{D} , les isomorphismes canoniques

$$\delta \left(\begin{array}{ccc} K \otimes M & \xrightarrow{\quad} & K \otimes (L \otimes M) \\ i+1 \downarrow & & \downarrow \\ K & \xrightarrow{i} & K \otimes L \end{array} \right) \xrightarrow{\sim} \delta \left(\begin{array}{ccc} K \otimes L & \xrightarrow{\quad} & K \otimes (M \otimes L) \\ i+1 \downarrow & & \downarrow \\ K & \xrightarrow{i} & K \otimes M \end{array} \right)$$

et

$$(10) \quad \delta \left(\begin{array}{ccc} K \otimes M & \text{---} & K \otimes (L \otimes M) \\ i+1 \downarrow & & \downarrow \\ K & \text{---} & K \otimes L \\ & i & \end{array} \right) \otimes \delta \left(\begin{array}{ccc} K \otimes N & \text{---} & K \otimes (L \otimes M \otimes N) \\ i+1 \downarrow & & \downarrow \\ K & \text{---} & K \otimes (L \otimes M) \\ & i & \end{array} \right) \\ \xrightarrow{\sim} \delta \left(\begin{array}{ccc} K \otimes N & \text{---} & K \otimes (M \otimes N) \\ i+1 \downarrow & & \downarrow \\ K & \text{---} & K \otimes M \\ & i & \end{array} \right) \otimes \delta \left(\begin{array}{ccc} K \otimes (M \otimes N) & \text{---} & K \otimes (L \otimes M \otimes N) \\ i+1 \downarrow & & \downarrow \\ K & \text{---} & K \otimes L \\ & i & \end{array} \right)$$

identifient les trivialisations de chacun des termes, données par la structure du $(n+1)$ -cube. Le premier point provient de l'hypothèse que la structure du cube est symétrique et de la remarque (3.4.6).

Pour l'associativité, remarquons d'abord que chacun des membres de 10 est isomorphe à

$$(11) \quad \delta \left(\begin{array}{ccc} K \otimes N & \text{---} & K \otimes (M \otimes N) \\ i+1 \downarrow & & \downarrow \\ K & \text{---} & K \otimes M \\ & i & \end{array} \right) \otimes \delta \left(\begin{array}{ccc} K \otimes (M \otimes N) & \text{---} & K \otimes (L \otimes M \otimes N) \\ i+1 \downarrow & & \downarrow \\ K \otimes M & \text{---} & K \otimes (L \otimes M) \\ & i & \end{array} \right) \\ \otimes \delta \left(\begin{array}{ccc} K \otimes M & \text{---} & K \otimes (L \otimes M) \\ i+1 \downarrow & & \downarrow \\ K & \text{---} & K \otimes L \\ & i & \end{array} \right).$$

Considérons alors l'empilement de $(n+1)$ -cubes suivant:

$$(12) \quad \begin{array}{ccccc} K \otimes N & \text{---} & K \otimes (M \otimes N) & \text{---} & K \otimes (L \otimes M \otimes N) \\ i+1 \downarrow & & i+1 \downarrow & & \downarrow \\ K & \text{---} & K \otimes M & \text{---} & K \otimes (L \otimes M) \\ & i & & i & \\ & & i+1 \downarrow & & \downarrow \\ & & K & \text{---} & K \otimes L \\ & & & i & \end{array}$$

Il résulte alors de la propriété 2. d'une structure du cube, appliquée aux deux façons d'effectuer des recollements dans (12) que les trivialisations des membres de (10) sont identifiées aux trivialisations de (11). \square

De ces différents résultats, on déduit la:

3.4.8. Proposition. *La donnée d'une structure du $(n+1)$ -cube S sur $\delta : \mathcal{C} \rightarrow \mathcal{D}$ munit le n -foncteur associé $\Lambda : \mathcal{C}^n \rightarrow \mathcal{D}$ de données d'additivité $*_i$ en chacune des n variables. Ces données sont compatibles aux données d'associativité et de commutativité de \mathcal{C} et \mathcal{D} ainsi qu'aux données de symétrie de Λ et sont compatibles entre elles.*

Preuve. Les questions d'associativité et de commutativité proviennent des résultats analogues pour $\Lambda_{K,i}$ (lemme 3.4.7).

Pour simplifier les notations exprimons la compatibilité des $*_i$ entre elles dans le cas $n = 2$. Cela se traduit par la commutativité du diagramme:

$$\begin{array}{ccc} \Lambda(L, N) \otimes \Lambda(L, P) \otimes \Lambda(M, N) \otimes \Lambda(M, P) & \xrightarrow{*_1 \otimes *_1} & \Lambda(LM, N) \otimes \Lambda(LM, P) \\ \downarrow *_2 \otimes *_2 & & \downarrow *_2 \\ \Lambda(L, NP) \otimes \Lambda(M, NP) & \xrightarrow{*_1} & \Lambda(LM, NP) \end{array}$$

BREEN montre dans [3],2.5 que la commutativité de ce diagramme est une conséquence de l'associativité de $*_1$ et $*_2$. En effet, cela se traduit en disant que l'isomorphisme canonique déduit des morphismes de contraction:

$$\begin{aligned} \alpha : \delta(K(LM, N, P)) \otimes \delta(K(L, M, N)) \otimes \delta(K(L, M, P)) \\ \xrightarrow{\sim} \delta(K(L, M, NP)) \otimes \delta(K(L, N, P)) \otimes \delta(K(M, N, P)) \end{aligned}$$

identifie les trivialisations de chacun des deux termes qui sont déduites de la structure du cube. Cette assertion provient alors du fait que α se décompose en

$$\begin{array}{c} \delta(K(LM, N, P)) \otimes \delta(K(L, M, N)) \otimes \delta(K(L, M, P)) \\ \downarrow \\ \delta(K(L, MN, P)) \otimes \delta(K(M, N, P)) \otimes \delta(K(L, M, N)) \\ \uparrow \\ \delta(K(L, M, NP)) \otimes \delta(K(L, N, P)) \otimes \delta(K(M, N, P)) \end{array}$$

provenant des morphismes d'associativité de $*_1$ et $*_2$.

Pour traduire la compatibilité des données d'additivité avec les données de symétrie, considérons des objets L_1, \dots, L_n, L, L' de \mathcal{C} et $\sigma \in S_n$ et notons $\underline{L}_i = (L_1, \dots, L_{i-1}, L, L_{i+1}, \dots, L_n)$, $\underline{L}'_i = (L_1, \dots, L_{i-1}, L', L_{i+1}, \dots, L_n)$ et $\underline{L}''_i = (L_1, \dots, L_{i-1}, L \otimes L', L_{i+1}, \dots, L_n)$ et $j = \sigma^{-1}(i)$. On veut montrer que le diagramme suivant, dont les flèches verticales proviennent des données de symétrie de Λ

$$\begin{array}{ccc} \Lambda(\sigma^* \underline{L}_i) \otimes \Lambda(\sigma^* \underline{L}'_i) & \xrightarrow{*_j} & \Lambda(\sigma^* \underline{L}''_i) \\ \downarrow & & \downarrow \\ \Lambda(\underline{L}_i) \otimes \Lambda(\underline{L}'_i) & \xrightarrow{*_j} & \Lambda(\underline{L}''_i) \end{array}$$

est commutatif. Ceci provient de la propriété de symétrie de la structure de $(n+1)$ -cube, appliquée au $(n+1)$ -cube $C = (K(L_1, \dots, L_{i-1}, L, L', L_{i+1}, \dots, L_n))$ et à la permutation $\tau \in S_{n+1}$ telle que $\tau^* C = (K(L_{\sigma(1)}, \dots, L_{\sigma(i-1)}, L, L', L_{\sigma(i+1)}, \dots, L_{\sigma(n)}))$. \square

4. LES CATÉGORIES DE PICARD CONSIDÉRÉES

Dans ce chapitre, on considère un morphisme projectif et plat $\pi : X \longrightarrow S$ sur un schéma localement noethérien et on introduit les catégories de Picard qui nous serviront dans la suite.

4.1. \mathcal{C} désignera la catégorie $PIC(X)$ dont les objets sont les faisceaux inversibles sur X , les flèches sont les isomorphismes de \mathcal{O}_X -modules, \otimes désigne le produit tensoriel usuel de deux \mathcal{O}_X -modules et les morphismes d'associativité et de commutativité sont ceux usuels. Les objets unités et inverses seront simplement le faisceau structural \mathcal{O}_X et le faisceau dual L^{-1} .

4.2. \mathcal{D} désignera la catégorie $PICgr(S)$ dont les objets sont les couples (L, d) formés d'un faisceau inversible L sur S et d'une application localement constante $d : X \rightarrow \mathbb{Z}$, les flèches entre deux objets (L, d) et (M, e) n'existent que si $d = e$ et sont dans ce cas les isomorphismes entre les \mathcal{O}_S -modules L et M . Le produit tensoriel sera alors défini par

$$(L, d) \otimes (M, e) = (L \otimes_{\mathcal{O}_X} M, d + e).$$

Les morphismes de commutativité $\psi : (L, d) \otimes (M, e) \rightarrow (M, e) \otimes (L, d)$ sont donnés par: $\psi : L \otimes_{\mathcal{O}_S} M \rightarrow M \otimes_{\mathcal{O}_S} L : l \otimes m \mapsto (-1)^{d \cdot e} m \otimes l$. On notera que la catégorie $PICgr(S)$ n'est pas strictement commutative.

L'objet unité de \mathcal{D} sera alors $\mathcal{O} = (\mathcal{O}_S, 0)$ et l'inverse de (L, d) sera $(L^{-1}, -d)$. Le morphisme d'évaluation $(L, d) \otimes (L^{-1}, -d) \rightarrow \mathcal{O}$ est donné par l'évaluation usuelle $L \otimes_{\mathcal{O}_S} L^{-1} \simeq \mathcal{O}_S$. On prendra garde que le morphisme $(L^{-1}, -d) \otimes (L, d) \rightarrow \mathcal{O}$ est donné par le morphisme usuel d'évaluation multiplié par $(-1)^d$.

On considèrera enfin le foncteur $\delta : \mathcal{C} \rightarrow \mathcal{D}$ donné par le déterminant de l'image directe dérivée dont l'existence, annoncée par GROTHENDIECK, est montrée par KNUDSEN et MUMFORD dans [12]. δ associe à tout \mathcal{O}_X -module inversible L , le \mathcal{O}_S -module $\det R\pi_* L$, gradué par la fonction localement constante $s \mapsto \chi(L|_{X_s})$.

En réalité, le foncteur δ est défini sur la catégorie plus étendue $COH(X/S)$ des \mathcal{O}_X -modules cohérents et plats sur S . Il vérifie les propriétés suivantes:

4.2.1. Toute suite exacte dans $COH(X/S)$:

$$0 \rightarrow E \rightarrow F \rightarrow G \rightarrow 0$$

induit un isomorphisme canonique de multiplicativité $\delta(E) \otimes \delta(G) \xrightarrow{\sim} \delta(F)$ et pour tout diagramme de suites exactes courtes:

$$\begin{array}{ccccccc} & & 0 & & 0 & & 0 \\ & & \downarrow & & \downarrow & & \downarrow \\ 0 & \longrightarrow & E' & \longrightarrow & F' & \longrightarrow & G' \longrightarrow 0 \\ & & \downarrow & & \downarrow & & \downarrow \\ 0 & \longrightarrow & E & \longrightarrow & F & \longrightarrow & G \longrightarrow 0 \\ & & \downarrow & & \downarrow & & \downarrow \\ 0 & \longrightarrow & E'' & \longrightarrow & F'' & \longrightarrow & G'' \longrightarrow 0 \\ & & \downarrow & & \downarrow & & \downarrow \\ & & 0 & & 0 & & 0 \end{array}$$

le diagramme

$$(13) \quad \begin{array}{ccc} \delta(E') \otimes \delta(E'') \otimes \delta(G') \otimes \delta(G'') & \longrightarrow & \delta(E) \otimes \delta(G) \\ \downarrow & & \downarrow \\ \delta(F') \otimes \delta(F'') & \longrightarrow & \delta(F) \end{array}$$

qu'on en déduit par application des morphismes de multiplicativité et de commutativité est commutatif ([12], prop.1). Notons que c'est la définition des isomorphismes de commutativité dans \mathcal{D} qui rend possible la commutativité du diagramme précédent.

4.2.2. Si E est un \mathcal{O}_X -module cohérent et plat sur S , à support dans un sous-schéma Y de X , on a : $\det R\pi_*(E) = \det R(\pi_{Y/S})_*(E|_Y)$.

4.2.3. La formation de $\det R\pi_*$ commute aux changements de base.

4.3. On considèrera enfin la catégorie de Picard strictement commutative $\mathcal{D}' = PIC(S)$ et on notera δ' le composé du foncteur $\delta = \det R\pi_* : \mathcal{C} \rightarrow \mathcal{D}$ avec le foncteur oubli de la graduation $\mathcal{D} \rightarrow \mathcal{D}'$. On notera qu'en travaillant dans cette catégorie \mathcal{D}' on gagne le fait qu'elle est strictement commutative, mais on perd la possibilité d'écrire certains diagrammes commutatifs du paragraphe précédent, comme par exemple (13), qui ne s'expriment naturellement que grâce au foncteur δ .

4.4. **Structure du cube dans la catégorie des faisceaux inversibles gradués.** Pour montrer l'existence éventuelle d'une structure de p -cube sur le foncteur $\delta' : \mathcal{C} \rightarrow \mathcal{D}'$ entre catégories de Picard strictement commutatives, il sera nécessaire de passer par l'intermédiaire du foncteur $\delta : \mathcal{C} \rightarrow \mathcal{D}$ à valeurs dans une catégorie de Picard non strictement commutative. Examinons ici comment les axiomes d'une structure de p -cube sur δ' se traduisent en termes de δ .

4.4.1. **Notation.** Si K est un p -cube dans \mathcal{C} , pour tout couple d'indices distincts i et j , les isomorphismes de commutativité dans \mathcal{D} induisent un isomorphisme $\delta(\sigma_{ij}^* K) \rightarrow \delta(K)$ dans \mathcal{D} , qui induit, par oubli de la graduation, un isomorphisme $\delta'(\sigma_{ij}^* K) \rightarrow \delta'(K)$ dans \mathcal{D}' . Celui-ci diffère de celui induit par les isomorphismes de commutativité dans \mathcal{D}' par un signe, que l'on notera $\varepsilon_{ij}(K)$.

4.4.2. **Remarque.** Si $X \rightarrow S$ est à fibres de dimension n , pour tout $(n+2)$ -cube

$$(14) \quad K = \left(\begin{array}{ccc} C & \xrightarrow{\quad} & D \\ j \downarrow & & \downarrow \\ A & \xrightarrow{\quad} & B \\ & i & \end{array} \right),$$

on a $\chi(A) = \chi(B) = \chi(C) = \chi(D)$ (d'après l'exemple 3.3.2) et de plus $\varepsilon_{ij}(K) = (-1)^{\chi(A)}$.

4.4.3. Soit K un p -cube dans \mathcal{C} et soit $t : \mathcal{O}_S \xrightarrow{\sim} \delta'(K)$ une trivialisaton de $\delta'(K)$. Pour tout entier $1 \leq i \leq p$, t induit un isomorphisme $t_i : \delta'(\phi_i^* K) \xrightarrow{\sim} \delta'(\phi_i^{''*} K)$ dans \mathcal{D}' . Le choix de l'ordre usuel sur les sommets de $\phi_i^* K$ et $\phi_i^{''*} K$ associe à t_i un isomorphisme $s_i : \delta(\phi_i^* K) \xrightarrow{\sim} \delta(\phi_i^{''*} K)$ dans \mathcal{D} . Exprimons alors, à l'intérieur de la catégorie \mathcal{D}' les relations entre s_i et s_j , pour $i \neq j$. On peut associer à s_i le morphisme dans \mathcal{D} :

$$\overline{s}_i : \mathcal{O} \longrightarrow (\delta(\phi_i^* K))^{-1} \otimes \delta(\phi_i^* K) \xrightarrow{\text{Id} \otimes s_i} (\delta(\phi_i^* K))^{-1} \otimes \delta(\phi_i^{''*} K) \longrightarrow \delta(K)$$

4.4.4. **Lemme.** La donnée d'une trivialisaton t de $\delta'(K)$ est équivalente à la donnée d'une collection $(s_i)_{1 \leq i \leq p}$ d'isomorphismes $s_i : \delta(\phi_i^* K) \xrightarrow{\sim} \delta(\phi_i^{''*} K)$ dans \mathcal{D} telle que, pour deux indices i et j distincts, les trivialisatons \overline{s}_i et \overline{s}_j de $\delta(K)$ induites par s_i et s_j diffèrent d'un signe $\varepsilon_{ij}(K)$.

Preuve. Reprenons la notation (14). Le diagramme, dont les flèches verticales sont données par les isomorphismes structuraux de \mathcal{D}' est commutatif:

$$\begin{array}{ccc}
(\delta'(A) \otimes_{\mathcal{O}_S} \delta'(C)^\vee) \otimes_{\mathcal{O}_S} (\delta'(C) \otimes_{\mathcal{O}_S} \delta'(D)) & \xrightarrow{t_i \otimes \text{id}} & (\delta'(B) \otimes_{\mathcal{O}_S} \delta'(D)^\vee) \otimes_{\mathcal{O}_S} (\delta'(C) \otimes_{\mathcal{O}_S} \delta'(D)) \\
\downarrow & & \downarrow \\
(\delta'(A) \otimes_{\mathcal{O}_S} \delta'(D)) \otimes_{\mathcal{O}_S} (\delta'(C) \otimes_{\mathcal{O}_S} \delta'(C)^\vee) & & (\delta'(B) \otimes_{\mathcal{O}_S} \delta'(C)^\vee) \otimes_{\mathcal{O}_S} (\delta'(D) \otimes_{\mathcal{O}_S} \delta'(D)^\vee) \\
\downarrow & & \downarrow \\
(\delta'(A) \otimes_{\mathcal{O}_S} \delta'(D)) & \xrightarrow{t} & (\delta'(B) \otimes_{\mathcal{O}_S} \delta'(C)) \\
\uparrow & & \uparrow \\
(\delta'(A) \otimes_{\mathcal{O}_S} \delta'(D)) \otimes_{\mathcal{O}_S} (\delta'(B) \otimes_{\mathcal{O}_S} \delta'(B)^\vee) & & (\delta'(C) \otimes_{\mathcal{O}_S} \delta'(B)^\vee) \otimes_{\mathcal{O}_S} (\delta'(D) \otimes_{\mathcal{O}_S} \delta'(D)^\vee) \\
\uparrow & & \uparrow \\
(\delta'(A) \otimes_{\mathcal{O}_S} \delta'(B)^\vee) \otimes_{\mathcal{O}_S} (\delta'(B) \otimes_{\mathcal{O}_S} \delta'(D)) & \xrightarrow{t_j \otimes \text{id}} & (\delta'(C) \otimes_{\mathcal{O}_S} \delta'(D)^\vee) \otimes_{\mathcal{O}_S} (\delta'(B) \otimes_{\mathcal{O}_S} \delta'(D))
\end{array}$$

Considérons le diagramme obtenu en remplaçant dans le précédent δ' par δ et en utilisant les morphismes structuraux de \mathcal{D}' . Son circuit extérieur est donc commutatif à un signe $(\varepsilon_{ij})^k$ près, où k est le nombre de transpositions apparaissant dans le diagramme. On constate alors que ce nombre est impair.

Réciproquement, si $(s_i)_{1 \leq i \leq p}$ est une telle collection de morphismes, chaque s_i induit un isomorphisme $t_i : \delta'(\phi_i^* K) \xrightarrow{\sim} \delta'(\phi_i''^* K)$ dans \mathcal{D}' . La trivialisations de $\delta'(K)$ dans \mathcal{D}' est alors indépendante de i . \square

4.4.5. Recollements de cubes. Soient K et K' deux p -cubes dans \mathcal{C} et i un indice tel que $\phi_i^* K = \phi_i''^* K$. Si t, t' sont des trivialisations de $\delta'(K)$ et $\delta'(K')$, elles induisent une trivialisations $t *_i t' : \mathcal{O}_X \xrightarrow{\sim} \mathcal{O}_X \otimes \mathcal{O}_X \xrightarrow{\sim} \delta'(K) \otimes \delta'(K') \xrightarrow{\sim} \delta'(K *_i K')$. Notons $s_i : \delta(\phi_i^* K) \xrightarrow{\sim} \delta(\phi_i''^* K)$, $s'_i : \delta(\phi_i^* K') \xrightarrow{\sim} \delta(\phi_i''^* K')$ et $s''_i : \delta(\phi_i^*(K *_i K')) \xrightarrow{\sim} \delta(\phi_i''^*(K *_i K'))$ les isomorphismes dans \mathcal{D}' associés à t, t' et $t *_i t'$. On a alors $s''_i = s'_i \circ s_i$.

On peut alors regrouper les résultats de ce paragraphe dans la

4.4.6. Proposition. *Une structure de p -cube sur δ' est équivalente à la donnée, pour tout p -cube K dans \mathcal{C} , de p isomorphismes dans \mathcal{D} :*

$$s_{K,i} : \delta(\phi_i^* K) \xrightarrow{\sim} \delta(\phi_i''^* K)$$

tels que:

1. Pour tout isomorphisme de p -cubes $f : K \xrightarrow{\sim} K'$, le diagramme induit

$$\begin{array}{ccc}
\delta(\phi_i^* K) & \longrightarrow & \delta(\phi_i''^* K) \\
\downarrow & & \downarrow \\
\delta(\phi_i^* K') & \longrightarrow & \delta(\phi_i''^* K')
\end{array}$$

est commutatif.

2. Soient K et K' deux p -cubes ayant leur i -ème $(p-1)$ -face en commun, on a l'égalité:

$$s_{K *_i K', i} = s_{K', i} \circ s_{K, i}$$

3. Les trivialisations de $\delta(K)$ induites par $s_{K,i}$ et $s_{K,j}$ diffèrent d'un signe $\varepsilon_{ij}(K)$.

4. Pour toute permutation $\sigma_{ij} \in S_p$ de deux indices distincts i et j , on a :

$$s_{\sigma_{ij}^*(K),i} = s_{K,i}$$

où désigne la permutation des indices i et j .

5. CONSTRUCTIONS DE STRUCTURES DU CUBE

5.1. **Cas de la dimension 0.** Si $\pi : X \rightarrow S$ est un morphisme fini et plat, le foncteur $\delta = \det R\pi_*$ se réduit au foncteur :

$$\delta : PIC(X) \rightarrow PICgr(S), L \mapsto (\det(\pi_*L), \deg \pi).$$

et $\delta' : PIC(X) \rightarrow PIC(S)$ est simplement le foncteur : $L \mapsto \det(\pi_*L)$.

5.1.1. *Norme.* Rappelons quelques propriétés de la norme (cf [8],6.5 et [6],3.1) pour un morphisme fini et plat. Notons d'abord que, comme X est fini sur S , pour tout faisceau inversible L sur X et tout $s \in S$, il existe un ouvert U de S contenant s tel que L est trivial sur X_U . Si α est une section inversible de \mathcal{O}_X , c'est à dire un automorphisme de \mathcal{O}_X , la norme $N_{X/S}(\alpha)$ est le déterminant de l'automorphisme de $\det \pi_*\mathcal{O}_X$ induit par α . Enfin la norme du faisceau inversible L est par définition le \mathcal{O}_S -module inversible

$$N_{X/S}(L) = (\det \pi_*L) \otimes_{\mathcal{O}_S} (\det \pi_*\mathcal{O}_X)^{-1}$$

Si $(U_i)_{i \in I}$ est un recouvrement ouvert de S tel que L est trivial sur X_{U_i} avec des fonctions de transition $(g_{ij})_{i,j \in I}$, alors $N_{X/S}(L)$ est trivial sur chaque U_i et a pour fonctions de transition les $N_{X/S}(g_{ij})$.

5.1.2. Construisons une structure du 2-cube (carré), qui traduit les propriétés de la norme pour un morphisme fini et plat: Il s'agit de construire, pour tous faisceaux inversibles L, M, N et P sur X et tout isomorphisme $\phi : L \otimes_{\mathcal{O}_X} M \xrightarrow{\sim} N \otimes_{\mathcal{O}_X} P$, un isomorphisme

$$(\det \pi_*L) \otimes_{\mathcal{O}_S} (\det \pi_*M) \xrightarrow{\sim} (\det \pi_*N) \otimes_{\mathcal{O}_S} (\det \pi_*P).$$

D'après les remarques de la section précédente, il suffit de construire pour tout isomorphisme $\phi : \mathcal{O}_X \otimes_{\mathcal{O}_X} \mathcal{O}_X \xrightarrow{\sim} \mathcal{O}_X \otimes_{\mathcal{O}_X} \mathcal{O}_X$ un isomorphisme $\delta_\phi : \det(\pi_*\mathcal{O}_X) \otimes_{\mathcal{O}_S} \det(\pi_*\mathcal{O}_X) \xrightarrow{\sim} \det(\pi_*\mathcal{O}_X) \otimes_{\mathcal{O}_S} \det(\pi_*\mathcal{O}_X)$ tel que si ϕ et ψ sont deux tels isomorphismes et

α, β, γ et δ des automorphismes de \mathcal{O}_X tels que le diagramme

$$\begin{array}{ccc} \mathcal{O}_X \otimes_{\mathcal{O}_X} \mathcal{O}_X & \xrightarrow{\phi} & \mathcal{O}_X \otimes_{\mathcal{O}_X} \mathcal{O}_X \\ \alpha \otimes \beta \downarrow & & \downarrow \gamma \otimes \delta \\ \mathcal{O}_X \otimes_{\mathcal{O}_X} \mathcal{O}_X & \xrightarrow{\psi} & \mathcal{O}_X \otimes_{\mathcal{O}_X} \mathcal{O}_X \end{array}$$

est commutatif, alors le diagramme induit:

$$\begin{array}{ccc} (\det \pi_*\mathcal{O}_X) \otimes_{\mathcal{O}_S} (\det \pi_*\mathcal{O}_X) & \xrightarrow{\det \pi_*\phi} & (\det \pi_*\mathcal{O}_X) \otimes_{\mathcal{O}_S} (\det \pi_*\mathcal{O}_X) \\ N_{X/S}(\alpha) \otimes N_{X/S}(\beta) \downarrow & & \downarrow N_{X/S}(\gamma) \otimes N_{X/S}(\delta) \\ (\det \pi_*\mathcal{O}_X) \otimes_{\mathcal{O}_S} (\det \pi_*\mathcal{O}_X) & \xrightarrow{\det \pi_*\psi} & (\det \pi_*\mathcal{O}_X) \otimes_{\mathcal{O}_S} (\det \pi_*\mathcal{O}_X) \end{array}$$

est commutatif. ϕ est un automorphisme de $\mathcal{O}_X \otimes_{\mathcal{O}_X} \mathcal{O}_X$, c'est à dire une section inversible de \mathcal{O}_X . On peut considérer la section inversible $N_{X/S}(\phi)$ de \mathcal{O}_S , qui définit donc l'automorphisme recherché de $(\det \pi_*\mathcal{O}_X) \otimes_{\mathcal{O}_S} (\det \pi_*\mathcal{O}_X)$. La condition de functorialité

se traduit en disant que, si $\alpha, \beta, \gamma, \delta, \phi, \psi$ sont des sections inversibles de \mathcal{O}_X telles que $\alpha\beta\psi = \gamma\delta\phi$, alors

$$N_{X/S}(\alpha)N_{X/S}(\beta)N_{X/S}(\psi) = N_{X/S}(\gamma)N_{X/S}(\delta)N_{X/S}(\phi),$$

ce qui est simplement la multiplicativité de la norme.

Le lemme suivant est une conséquence immédiate de la définition de la norme d'un faisceau inversible et des propriétés de multiplicativité de la norme.

5.1.3. Lemme. 1. *La construction précédente détermine une structure du carré symétrique sur δ' .*

2. *Le foncteur linéaire $PIC(X) \rightarrow PIC(S)$ déduit de cette structure est la norme relativement au morphisme fini et plat π .*

5.1.4. Remarque. Considérons un carré $\left(\begin{array}{ccc} N & \text{---} & P \\ | & & | \\ L & \text{---} & M \end{array} \right)$ dans $PIC(X)$ correspondant

à un isomorphisme $\phi : L \otimes P \xrightarrow{\sim} M \otimes N$ et soient des isomorphismes $\alpha : L \xrightarrow{\sim} M$ et $\beta : N \xrightarrow{\sim} P$ tels que le diagramme

$$\begin{array}{ccc} L \otimes P & \xrightarrow{\phi} & M \otimes N \\ \alpha \otimes \text{id} \downarrow & & \text{id} \otimes \beta \downarrow \\ M \otimes P & \text{=====} & M \otimes P \end{array}$$

soit commutatif, alors le diagramme suivant, obtenu par application de $\det \pi_*$ l'est aussi:

$$\begin{array}{ccc} \det \pi_* L \otimes \det \pi_* P & \xrightarrow{\delta_\phi} & \det \pi_* M \otimes \det \pi_* N \\ \det(\alpha) \otimes \text{id} \downarrow & & \text{id} \otimes \det(\beta) \downarrow \\ \det \pi_* M \otimes \det \pi_* P & \text{=====} & \det \pi_* M \otimes \det \pi_* P \end{array}$$

5.2. Restriction à un diviseur effectif. Si $\pi : X \rightarrow S$ un morphisme projectif et plat sur S localement noethérien et D est un diviseur relatif sur X , si K est un p -cube dans $\mathcal{C} = PIC(X)$, considérons le $(p+1)$ -cube $A = (K \xrightarrow[i]{} K \otimes \mathcal{O}(D))$. On a alors un isomorphisme canonique $r_i : \delta(K') \xrightarrow{\sim} \delta(K \otimes \mathcal{O}(D)|_D)$ dans $\mathcal{D} = PICgr(S)$, qu'on appellera *isomorphisme de restriction*. Il est donné en appliquant, pour chaque sommet L de K , le foncteur δ à la suite exacte:

$$0 \rightarrow L \rightarrow L(D) \rightarrow L(D)|_D \rightarrow 0$$

5.2.1. Application au cas des courbes. Soit $\pi : X \rightarrow S$ un morphisme projectif et plat, à fibres de dimension 1, sur un schéma localement noethérien S . Soient D et E deux diviseurs de Cartier relatifs effectifs et L un faisceau inversible sur X , considérons alors le carré $A = K_L(\mathcal{O}_X(D), \mathcal{O}_X(E))$. Les considérations précédentes nous donnent un isomorphisme $r_1 : \delta(A) \xrightarrow{\sim} \delta(L(D)|_D \xrightarrow{1} L(D+E)|_D)$ et, comme D est fini et plat sur S , on obtient un isomorphisme

$$(15) \quad \delta(A) \xrightarrow{\sim} (\det \pi_* L(D)|_D)^{-1} \otimes (\det \pi_* L(D+E)|_D).$$

La section canonique de $\mathcal{O}_X(E)$ induit un morphisme $\pi_* L(D)|_D \rightarrow \pi_* L(D+E)|_D$, dont le déterminant définit donc une section $s_L(D, E)$ de $\delta(A)$.

5.2.2. Lemme. *L'isomorphisme canonique $\delta(K_L(\mathcal{O}_X(D), \mathcal{O}_X(E))) \xrightarrow{\sim} \delta(K_L(\mathcal{O}_X(E), \mathcal{O}_X(D)))$, donné par les isomorphismes de commutativité dans $PICgr(S)$, échange les sections $s_L(D, E)$ et $s_L(E, D)$ de ces deux faisceaux.*

Preuve. Décrivons l'isomorphisme (15). Considérons le diagramme commutatif de suites exactes:

$$\begin{array}{ccccccc}
 & & L(E)|_E \hookrightarrow & & L(D+E)|_{D+E} & \longrightarrow & L(D+E)|_D \\
 & \nearrow & \uparrow & B & \nearrow & & \uparrow \\
 0 & \longrightarrow & L(D)|_D & \xlongequal{\quad} & L(D)|_D & \longrightarrow & L(D)|_D \\
 & \uparrow & \uparrow & & \uparrow & & \uparrow \\
 & & L(E) \hookrightarrow & & L(D+E) & \longrightarrow & L(D+E)|_D \\
 & \nearrow & \uparrow & A & \nearrow & & \uparrow \\
 L & \longrightarrow & L(D) & \longrightarrow & L(D)|_D & \longrightarrow & L(D)|_D \\
 & \uparrow & \uparrow & & \uparrow & & \uparrow \\
 & & L & \xlongequal{\quad} & L & & L \\
 & \nearrow & \uparrow & & \nearrow & & \uparrow \\
 L & \longrightarrow & L & \longrightarrow & L & \longrightarrow & L
 \end{array}$$

On en déduit que l'isomorphisme (15) se décompose en $\delta(A) \xrightarrow{\sim} \delta(B) \xrightarrow{\sim} (\det \pi_* L(D)|_D)^{-1} \otimes (\det \pi_* L(D+E)|_D)$, où le premier isomorphisme est donné par les suites exactes verticales et le second isomorphisme est obtenu en appliquant le foncteur déterminant au diagramme suivant de \mathcal{O}_S -modules localement libres

$$\begin{array}{ccccc}
 \pi_* L(E)|_E & \xrightarrow{\beta} & \pi_* L(D+E)|_E & & \\
 \parallel & & \uparrow & & \\
 \pi_* L(E)|_E & \longrightarrow & \pi_* L(D+E)|_{D+E} & \longrightarrow & \pi_* L(D+E)|_D \\
 \uparrow & & \uparrow & & \alpha \uparrow \\
 0 & \longrightarrow & \pi_* L(D)|_D & \xlongequal{\quad} & \pi_* L(D)|_D
 \end{array}$$

On traduit l'assertion du lemme en disant que la suite d'isomorphismes dans $PICgr(S)$

$$\begin{aligned}
 & \det(\pi_* L(D)|_D)^\vee \otimes \det(\pi_* L(D+E)|_D) \xrightarrow{\sim} \\
 & \det(\pi_* L(D)|_D)^\vee \otimes \det(\pi_* L(E)|_E)^\vee \otimes \det(\pi_* L(D+E)|_{D+E}) \xrightarrow{\sim} \\
 & \det(\pi_* L(E)|_E)^\vee \otimes \det(\pi_* L(D)|_D)^\vee \otimes \det(\pi_* L(D+E)|_{D+E}) \xrightarrow{\sim} \\
 & \det(\pi_* L(E)|_E)^\vee \otimes \det(\pi_* L(D+E)|_E)
 \end{aligned}$$

fait correspondre les sections $\det(\alpha)$ et $\det(\beta)$ des deux termes extrêmes, ce qui provient des propriétés du déterminant des \mathcal{O}_S -modules localement libres. \square

5.3. Théorème principal. *Soit S un schéma localement noethérien. Pour tout morphisme projectif et plat $\pi : X \rightarrow S$ à fibres de dimension n , il existe une structure du $(n+2)$ -cube canonique sur le foncteur $\delta' : PIC(X) \rightarrow PIC(S)$ telle que:*

1. Si π est un morphisme fini, la structure du carré correspondante est simplement celle donnée par la norme (5.1).
2. Si D est un diviseur relatif sur X , les structures du $(n+2)$ -cube sur $\delta'_X : PIC(X) \rightarrow PIC(S)$ et du $(n+1)$ -cube sur $\delta'_D : PIC(D) \rightarrow PIC(S)$ sont compatibles aux isomorphismes de restriction.

Preuve. La preuve s'effectue par récurrence sur n .

Le cas de la dimension 0 a été traité dans (5.1).

Soit n un entier strictement positif, supposons que, pour tout morphisme projectif et plat $Y \rightarrow S$ à fibres de dimension $p < n$, on sache construire une structure du $(p+2)$ -cube sur δ'_Y vérifiant les propriétés 1 et 2 du théorème. Soit $\pi : X \rightarrow S$ projectif et plat à fibres de dimension n , construisons une structure du $(n+2)$ -cube sur δ'_X . D'après la proposition (4.4.6), on doit donc construire, pour tout $(n+2)$ -cube A dans $PIC(X)$, des isomorphismes $s_{A,i} : \delta((\phi'_i)^* A) \xrightarrow{\sim} \delta((\phi''_i)^* A)$ vérifiant des propriétés de symétrie et de compatibilité aux recollements de $(n+2)$ -cubes. Cette construction, qui occupe les paragraphes suivants sera découpée de la façon suivante:

- Si un $(n+2)$ -cube A possède une arête L_j ayant une section régulière σ_j , on construit un isomorphisme $s_{A,i,\sigma_j} : \delta((\phi'_i)^* A) \xrightarrow{\sim} \delta((\phi''_i)^* A)$ dépendant du choix de σ_j .
- On s'affranchit de la dépendance en la section σ_j , sous l'hypothèse que A possède deux arêtes L_j et L_k suffisamment positives (on dira dans ce cas que A est suffisamment positif dans les directions i et j).
- On élimine enfin cette hypothèse de positivité;

5.4. Construction et propriétés de s_{A,i,σ_j} .

5.4.1. Construction. Une section régulière σ_j de la j -ième arête L_j de A définit un diviseur de Cartier relatif D et A est isomorphe à un $(n+2)$ -cube $(K \xrightarrow{j} K \otimes \mathcal{O}_X(D))$. On dispose donc, d'après (5.2), d'isomorphismes de restriction $\delta((\phi'_i)^* A) \xrightarrow{\sim} \delta((\phi'_i)^* K(D)|_D)$ et $\delta((\phi''_i)^* A) \xrightarrow{\sim} \delta((\phi''_i)^* K(D)|_D)$, provenant du diagramme de suites exactes

$$0 \longrightarrow (\phi'_i)^* K \longrightarrow (\phi'_i)^* K(D) \longrightarrow (\phi'_i)^* K(D)|_D \longrightarrow 0$$

et du diagramme analogue faisant intervenir $(\phi''_i)^* K$. L'hypothèse de récurrence, appliquée au $(n+1)$ -cube $K(D)|_D$ sur le schéma relatif D/S de dimension $n-1$ entraîne l'existence d'un isomorphisme

$$s_{K(D)|_D,i} : \delta((\phi'_i)^* K(D)|_D) \xrightarrow{\sim} \delta((\phi''_i)^* K(D)|_D).$$

En composant $s_{K(D)|_D,i}$ avec les isomorphismes précédents, on obtient s_{A,i,σ_j} .

5.4.2. Comportement de s_{A,i,σ_j} par recollement. Si deux $(n+2)$ -cubes A et B sont recollables le long de leurs i -ème face, ils ont alors même j -ième arête L_j . Si L_i possède une section régulière σ_j définissant un diviseur relatif D , on peut alors écrire $A \simeq (K \xrightarrow{j} K \otimes \mathcal{O}(D))$ et $B \simeq (K' \xrightarrow{j} K' \otimes \mathcal{O}(D))$, avec $K = (K_1 \xrightarrow{i} K_2)$ et $K' = (K_2 \xrightarrow{i} K_3)$. En

écrivait le diagramme suivant, dont chaque ligne est exacte:

$$\begin{array}{ccccccc}
 0 & \longrightarrow & K_3 & \longrightarrow & K_3(D) & \longrightarrow & K_3(D)|_D \longrightarrow 0 \\
 & & \downarrow & & \downarrow & & \downarrow \\
 & & & & B & & \\
 0 & \longrightarrow & K_2 & \longrightarrow & K_2(D) & \longrightarrow & K_2(D)|_D \longrightarrow 0 \\
 & & \downarrow & & \downarrow & & \downarrow \\
 & & i & & A & & \\
 0 & \longrightarrow & K_1 & \xrightarrow{j} & K_1(D) & \longrightarrow & K_1(D)|_D \longrightarrow 0
 \end{array}$$

et en utilisant que, d'après l'hypothèse de récurrence,

$$s_{(K(D)|_D * i K'(D)|_D), i} = s_{K'(D)|_D, i} \circ s_{K(D)|_D, i},$$

on obtient:

$$s_{A * i B, i, \sigma_j} = s_{B, i, D} \circ s_{A, i, \sigma_j}.$$

5.4.2. Lemme (Lien entre s_{A, i, σ_j} et s_{A, i, σ_k}). *Supposons que les arêtes L_j et L_k du $n + 2$ -cube A possèdent des sections régulières σ_j et σ_k et soit $i \neq j, k$. Si l'une des deux hypothèses suivantes est vérifiée:*

1. X/S est à fibres de dimension 1 et $Z(\sigma_j) \cap Z(\sigma_k) = \emptyset$.
2. X/S est à fibres de dimension $n > 1$ et les suites (σ_j, σ_k) et (σ_k, σ_j) sont π -régulières

On a alors $s_{A, i, \sigma_j} = s_{A, i, \sigma_k}$.

Preuve. Soient D et E les diviseurs de Cartier relatifs effectifs définis par s_{A, i, σ_j} et s_{A, i, σ_k} , on

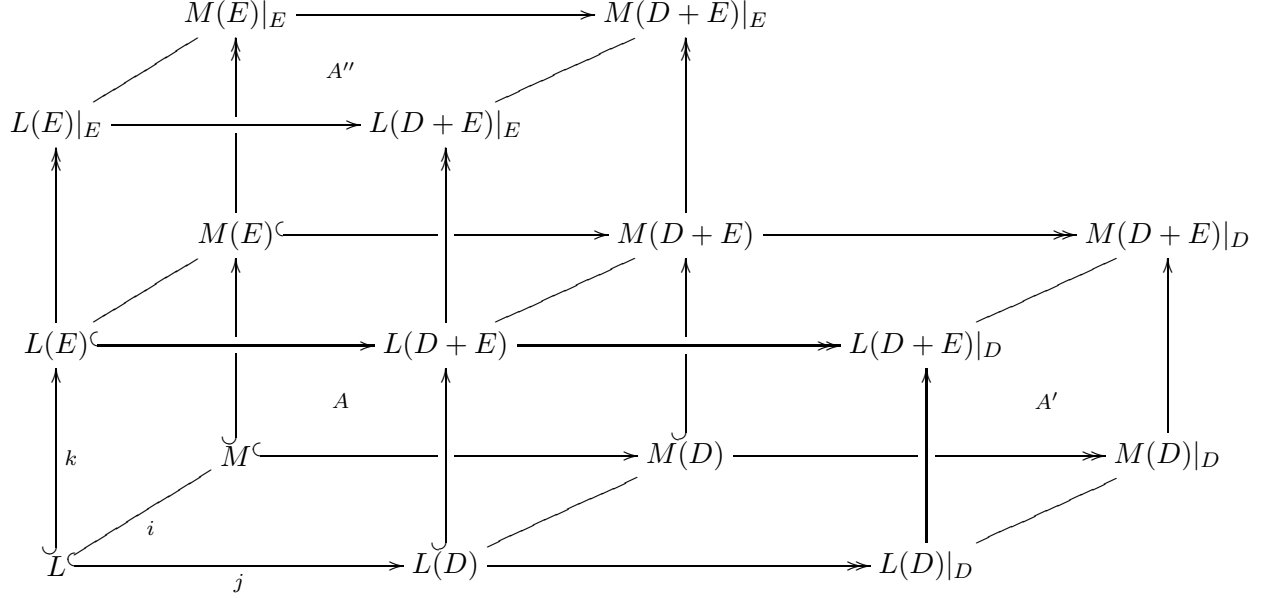
écrit alors A sous la forme $A = \left(\begin{array}{ccc} K(E) & \longrightarrow & K(D + E) \\ k \downarrow & & \downarrow \\ K & \xrightarrow{j} & K(D) \end{array} \right)$, où K est un n -cube. Ecrivons

le diagramme suivant, dont les lignes et les colonnes sont des suites exactes courtes, et qui relie le $(n + 2)$ -cube A sur X aux $(n + 1)$ -cubes A' et A'' sur E et D et au n -cube A''' sur $D \cap E$:

$$(16) \quad \begin{array}{ccccc}
 A'' & \cdots & \boxed{K(E)|_E \xrightarrow{j} K(D + E)|_E} & \longrightarrow & \boxed{K(E)|_{D \cap E}} & \cdots & A''' \\
 & & \uparrow & & \uparrow & & \\
 A & \cdots & \boxed{K(E) \xrightarrow{k} K(D + E)} & \longrightarrow & \boxed{K(D + E)|_D} & \cdots & A' \\
 & & \uparrow & & \uparrow & & \\
 & & \boxed{K \xrightarrow{j} K(D)} & \longrightarrow & \boxed{K(D)|_D} & & \\
 & & \uparrow & & \uparrow & & \\
 & & k & & k & &
 \end{array}$$

Cas 1:

K est ici un 1-cube ($L \longrightarrow M$) et le diagramme (16) se réduit alors à:



où $\{i, j, k\} = \{1, 2, 3\}$. On peut alors écrire un diagramme d'isomorphismes:

$$\begin{array}{ccccc}
 \delta(\phi_i^{A''}) & \longleftarrow & \delta(\phi_i^{A'}) & \longrightarrow & \delta(\phi_i^{A'}) \\
 \downarrow s_{A'',i} & & \nearrow & & \downarrow s_{A',i} \\
 & & \mathcal{O}_S & & \\
 \downarrow & & \searrow & & \downarrow \\
 \delta(\phi_i^{A''}) & \longleftarrow & \delta(\phi_i^{A'}) & \longrightarrow & \delta(\phi_i^{A'})
 \end{array}$$

dont les lignes supérieures et inférieures proviennent respectivement des faces avant et arrières du diagramme précédent et les flèches obliques sont les isomorphismes décrits dans (5.2.1). Il s'agit de montrer que le tracé extérieur est commutatif, ce qui provient du fait que les deux triangles latéraux sont commutatifs par la remarque (5.1.4) et que les deux autres triangles sont commutatifs par le lemme (5.4.2).

Cas 2

Le diagramme (16) induit un diagramme commutatif d'isomorphismes

$$\begin{array}{ccc}
 \delta(A'') & \xrightarrow{\delta} & \delta(A''') \\
 \gamma \uparrow & & \beta \uparrow \\
 \delta(A) & \xrightarrow{\alpha} & \delta(A')
 \end{array}$$

Par construction, α identifie $s_{A',i}$ à s_{A,i,σ_j} et γ identifie $s_{A'',i}$ à s_{A,i,σ_k} . Par l'hypothèse de récurrence appliquée à δ_D , δ_E et $\delta_{D \cap E}$, les isomorphismes β et δ identifient respectivement $s_{A',i}$ et $s_{A'',i}$ à $s_{A'',i}$, ce qui prouve l'assertion dans le cas 2. \square

5.4.3. *Lien entre s_{A,i,σ_j} et s_{A,k,σ_j} .* Soient A un $(n+2)$ -cube sur X dont la j -ième arête possède une section π -régulière σ_j et soient i, k deux indices distincts et distincts de j , montrons que

les trivialisations de $\delta(A)$ induites par s_{A,i,σ_j} et s_{A,k,σ_j} diffèrent d'un signe égal à $\varepsilon_{ik}(A)$ (introduit dans la proposition (4.4.6)).

A cet effet, écrivons K sous la forme $\left(\begin{array}{ccc} K_2 & \text{---} & K_3 \\ k \downarrow & & \downarrow \\ K_0 & \text{---} & K_1 \\ & i & \end{array} \right)$ et notons D le diviseur de Cartier

relatif défini par σ_j . Considérons le diagramme suivant dont les lignes sont des suites exactes courtes:

$$\begin{array}{ccccccc}
 & & K_3 \hookrightarrow & & K_3(D) & \longrightarrow & K_3(D)|_D \\
 & & \downarrow & & \downarrow & & \downarrow \\
 K_2 \hookrightarrow & & & & K_2(D) & \longrightarrow & K_2(D)|_D \\
 \downarrow & & \downarrow & & \downarrow & & \downarrow \\
 & & K_1 \hookrightarrow & & K_1(D) & \longrightarrow & K_1(D)|_D \\
 \downarrow & & \downarrow & & \downarrow & & \downarrow \\
 K_0 \hookrightarrow & & & & K_0(D) & \longrightarrow & K_0(D)|_D
 \end{array}$$

le cube de gauche de ce diagramme est précisément A et les suites exactes donnent un iso-

morphisme entre $\delta(A)$ et $\delta \left(\begin{array}{ccc} K_2(D)|_D & \text{---} & K_3(D)|_D \\ j \downarrow & & \downarrow \\ K_0(D)|_D & \text{---} & K_1(D)|_D \\ & i & \end{array} \right)$. Cet isomorphisme identifie les

trivialisations de $\delta(A)$ induites par s_{A,i,σ_j} et s_{A,k,σ_j} aux trivialisations de $\delta(K(D)|_D)$ induites par $s_{K(D)|_D,i}$ et $s_{K(D)|_D,k}$. Or, par l'hypothèse de récurrence, interprétée à la lumière de la proposition (4.4.6), ces deux trivialisations diffèrent d'un signe $\varepsilon_{ik}(K(D)|_D)$. On conclut en affirmant que $\varepsilon_{ik}(A) = \varepsilon_{ik}(K(D)|_D)$. En effet, par l'additivité de la caractéristique d'Euler-Poincaré, on a:

$$\chi_{D/S}(K_0(D)|_D) = \chi_{X/S}(K_0(D)) - \chi_{X/S}(K_0) = \chi_{X/S}(K_0 \text{ ---} K_0(D))$$

et donc:

$$\varepsilon_{ik}(A) = (-1)^{\chi_{X/S}(K_0) - \chi_{X/S}(K_0(D))} = (-1)^{\chi_{D/S}(K_0(D)|_D)} = \varepsilon_{ik}(K(D)|_D)$$

5.5. Elimination des hypothèses de diviseurs effectifs. Pour tout $(n+2)$ -cube A suffisamment positif dans les directions i et j et tout indice $i \neq j, k$, on construit dans cette section un isomorphisme

$$s_{A,i} : \delta(\phi_i^* A) \xrightarrow{\sim} \delta(\phi_i^{!!*} A),$$

fonctoriel en les isomorphismes de $(n+2)$ -cubes et compatible aux empilements de cubes dans la direction i (conditions 1 et 2 de la proposition (4.4.6)).

5.5.1. *Première réduction.* Soit A un $(n+2)$ -cube suffisamment positif dans les directions i et

j . A est alors isomorphe un $(n+2)$ -cube $\left(\begin{array}{ccc} K \otimes M & \text{---} & K \otimes (L \otimes M) \\ k \downarrow & & \downarrow \\ K & \text{---} & K \otimes L \\ & j & \end{array} \right)$ avec $L, M \gg 0$.

Considérons les fibrés projectifs P_L et P_M sur S et effectuons le changement de base

$$\begin{array}{ccc} X_{P_L \times P_M} & \xrightarrow{g} & X \\ \pi \downarrow & & \downarrow \pi \\ P_L \times P_M & \xrightarrow{f} & S \end{array}$$

Notons encore K, L et M les images réciproques de K, L et M par g et introduisons les faisceaux inversibles $L' = L \otimes \pi_{P_L}^* \mathcal{O}_{P_L}(1)$ et $M' = M \otimes \pi_{P_M}^* \mathcal{O}_{P_M}(1)$ et considérons le $(n+$

$2)$ -cube $A' = \left(\begin{array}{ccc} K \otimes M' & \text{---} & K \otimes (L' \otimes M') \\ k \downarrow & & \downarrow \\ K & \text{---} & K \otimes L' \\ & j & \end{array} \right)$ sur $X_{P_L \times P_M}$. On a des isomorphismes

canoniques: $\delta(K \otimes L') \xrightarrow{\sim} f^* \delta(K \otimes L) \otimes (\mathcal{O}_{P_L}(1))^{\chi_{X/S}(K \otimes L)}$, $\delta(K \otimes M') \xrightarrow{\sim} f^* \delta(K \otimes M) \otimes (\mathcal{O}_{P_M}(1))^{\chi_{X/S}(K \otimes M)}$ et $\delta(K \otimes L' \otimes M') \xrightarrow{\sim} f^* \delta(K \otimes L \otimes M) \otimes (\mathcal{O}_{P_L}(1) \otimes \mathcal{O}_{P_M}(1))^{\chi_{X/S}(K \otimes L \otimes M)}$. L'égalité $\chi_{X/S}(K \otimes L \otimes M) = \chi_{X/S}(K \otimes L) = \chi_{X/S}(K \otimes M)$, déduite de (3.3.2), entraîne alors l'existence d'un isomorphisme canonique

$$\delta(A') \xrightarrow{\sim} f^* \delta(A)$$

Comme on a $f_* f^* \mathcal{O}_{P_L \times_S P_M} = \mathcal{O}_S$, on en déduit que la donnée d'un isomorphisme $s_{A,i} : \delta(\phi_i^* A) \xrightarrow{\sim} \delta(\phi_i'^* A)$ sur S est équivalente à la donnée d'un isomorphisme $s_{A',i} : \delta(\phi_i^* A') \xrightarrow{\sim} \delta(\phi_i'^* A')$ sur $P_L \times_S P_M$.

5.5.2. *Construction de $s_{A',i}$ sur des ouverts.* Considérons les ouverts $U_L = P_L \setminus Z_L$ et $U_M = P_M \setminus Z_M$ introduits en (2.4). Sur $X_{U_L \times P_M}$, on dispose d'un diviseur relatif D_L et d'un isomorphisme canonique $L' \xrightarrow{\sim} \mathcal{O}(D_L)$. Le cube A' est donc canoniquement isomorphe sur $X_{U_L \times P_M}$ à un cube de la forme $(K_0 \text{---} K_0(D_L))$. En appliquant la construction (5.4.1) à cette situation, on obtient un isomorphisme canonique $s' : \delta(\phi_i^* A) \xrightarrow{\sim} \delta(\phi_i'^* A)$ défini sur $U_L \times_S P_M$. La même construction, effectuée en intervertissant les rôles de L et M , nous donne un autre isomorphisme s'' entre les mêmes faisceaux et défini sur $P_L \times_S U_M$.

5.5.3. Lemme. s' et s'' coïncident sur $U_L \times_S U_M$.

Preuve. Soit p la projection $U_L \times_S U_M \rightarrow U_M$. Le lemme (2.4.3) montre l'existence d'un fermé Z de $U_L \times_S U_M$ tel que

1. $\forall u \in U_M, \forall x \in Z_u, \text{Prof}(\mathcal{O}_{p^{-1}(u),x}) \geq 1$.
2. Au dessus de $V = (U_L \times_S U_M) \setminus Z$, les diviseurs D_L et D_M sont en position d'intersection complète et $(D_L \cap D_M)_V$ est plat sur V .

Au dessus de V , s' et s'' coïncident d'après (5.4.2). On en déduit donc, d'après ([9], 19.9.8), en utilisant la propriété 1 que s' et s'' coïncident sur $U_L \times_S U_M$. \square

5.5.5. *Extension de s' et s'' à $P_L \times_S P_M$.* Considérons le fermé $Y = Z_L \times_S Z_M$ du s -schéma $P_L \times_S P_M$. Le lemme (2.4.1) entraîne que pour tout $s \in S$ et tout $y \in Y_s$, on a $\text{Prof}(\mathcal{O}_{(P_L \times_S P_M)_s, y}) \geq 2$. les isomorphismes s' et s'' sont définis respectivement sur $U_L \times_S P_M$ et $P_L \times_S U_M$ et coïncident sur $U_L \times_S U_M$. Ils définissent donc un isomorphisme $s : \delta((\phi'_i)^* A) \xrightarrow{\sim} \delta((\phi''_i)^* A)$ sur l'ouvert $U = (P_L \times_S P_M) \setminus Y$. Par ([9], 19.9.8), s se prolonge alors (de manière unique) à $P_L \times_S P_M$ en un isomorphisme $s_{A',i}^{j,k} : \delta(\phi_i'^* A') \xrightarrow{\sim} \delta(\phi_i''^* A')$ dépendant a priori du choix des directions j et k .

Par la réduction (5.5.1), on déduit de cette construction un isomorphisme

$$s_{A',i}^{j,k} : \delta(\phi_i'^* A') \xrightarrow{\sim} \delta(\phi_i''^* A')$$

défini maintenant sur S . Il reste à montrer le

5.5.5. Lemme. $s_{A,i}^{j,k}$ est indépendant du choix des directions j et k .

Preuve. Supposons en effet que A soit suffisamment positif dans trois directions différentes $j, k, l \neq i$. A s'écrit donc de trois façons différentes $(K_j \xrightarrow{\quad} K_j \otimes L)$, $(K_k \xrightarrow{\quad} K_k \otimes M)$ et $(K_l \xrightarrow{\quad} K_l \otimes N)$, avec $L, M, N \gg 0$. Montrons alors $s_{A,i}^{j,k} = s_{A,i}^{k,l}$.

Il suffit de le montrer après changement de base par $P_M \rightarrow S$, et donc après changement de base par $U_M \rightarrow S$ (par le même argument que dans la preuve du lemme (5.5.3)). Mais, par construction, au dessus de U_M les isomorphismes $s_{A,i}^{j,k}$ et $s_{A,i}^{k,l}$ proviennent tous deux de la structure du cube associée au schéma relatif D_M/S , et sont donc égaux. \square

5.5.7. *Propriétés des isomorphismes ainsi construits.* On a donc construit, pour tout $(n+2)$ -cube A , qui est suffisamment positif dans deux directions et pour toute direction i différente des précédentes, un isomorphisme

$$s_{A,i} : \delta(\phi_i'^* A) \xrightarrow{\sim} \delta(\phi_i''^* A)$$

les $s_{A,i}$ vérifient les propriétés suivantes:

1. Si les deux $(n+2)$ -cubes A et B sont suffisamment positifs dans deux directions différentes de i et ont leur i -ème face en commun, alors:

$$s_{B,i} \circ s_{A,i} = s_{A^* B, i}$$

2. Si $s_{A,i}$ et $s_{A,j}$ sont tous les deux définis, alors les trivialisations de $\delta(A)$ qu'elles induisent diffèrent d'un signe égal à $\varepsilon_{ij}(A)$.
3. Si A est suffisamment positif dans deux directions différentes de i , pour toute permutation $\sigma \in S_n$ on a:

$$s_{\sigma^* A, i} = s_{A, \sigma(i)}$$

Pour montrer les propriétés 1 et 2, on choisit une direction k dans laquelle A est suffisamment positif, et on écrit $A = (K \xrightarrow{\quad} K \otimes L)$ avec $L \gg 0$ et on effectue, comme précédemment, un changement de base $U_L \subset P_L \rightarrow S$, ce qui permet de disposer d'un diviseur effectif D_L . La propriété 1 provient alors de la propriété de recollement (5.4.2) et la propriété 2 provient du lien entre $s_{A,i,D}$ et $s_{A,k,D}$ (5.4.3), montrés tous les deux sous l'hypothèse de l'existence d'un diviseur effectif.

Pour la propriété 3, il suffit de montrer l'égalité $s_{\sigma^* A, i} = s_{A, \sigma(i)}$ dans le cas où σ est une transposition σ_{rs} et où A est suffisamment positif dans au moins une direction k différente de r et de s . On écrit alors $A = (K \xrightarrow{\quad} K \otimes L)$ avec $L \gg 0$ et on effectue le changement

de base $U_L \subset P_L \longrightarrow S$. L'égalité provient alors de l'égalité analogue pour le $(n+1)$ -cube $K \otimes L|_{D_L}$, qui est vérifiée d'après l'hypothèse de récurrence.

5.6. Elimination des hypothèses de positivité. On veut étendre ici la définition de $s_{A,i}$ à un $(n+2)$ -cube quelconque A dans $PIC(X)$.

5.6.1. Remarque. Si A et B sont deux $(n+2)$ -cubes dans $PIC(X)$, recollables le long de leur j -ième face (notons $C = A *_j B$) et tels que $s_{A,i}$ et $s_{B,i}$ sont bien définis. On peut alors définir un isomorphisme $s_{A,i} \otimes s_{B,i} : \delta(\phi_i'^* C) \xrightarrow{\sim} \delta(\phi_i''^* C)$ par:

$$\delta(\phi_i'^* C) \xrightarrow{\sim} \delta(\phi_i'^* A) \otimes \delta(\phi_i'^* B) \longrightarrow \delta(\phi_i''^* A) \otimes \delta(\phi_i''^* B) \xrightarrow{\sim} \delta(\phi_i''^* C)$$

Notons que si $s_{C,i}$ est aussi défini, on a la relation:

$$s_{C,i} = \varepsilon_{ij}(A) s_{A,i} \otimes s_{B,i},$$

résultant de la comparaison entre $s_{A,i}$ et $s_{A,j}$ et de la relation $s_{C,j} = s_{A,j} \otimes s_{B,j}$.

On peut alors énoncer le

5.6.2. Lemme. *Soit i un indice compris entre 1 et $n+2$ et soit A un $(n+2)$ -cube suffisamment positif dans une direction $j \neq i$.*

1. *Pour toute direction $k \neq i, j$, il existe un $(n+2)$ -cube B recollable avec A dans la direction k tel que B et $A *_k B$ soient tous les deux suffisamment positifs dans la direction k .*
2. *Soient k et l deux directions éventuellement égales mais distinctes de i et j et soient B (resp. B') deux $(n+2)$ -cubes recollables avec A dans les directions k (resp. l) tels que B et $A *_k B$ sont suffisamment positifs dans la direction k et B' et $A *_l B'$ sont suffisamment positifs dans la direction l . Alors les deux isomorphismes:*

$$s_{A *_k B, i} \otimes s_{B, i}^{-1} \text{ et } s_{A *_l B', i} \otimes s_{B', i}^{-1} : \delta(\phi_i'^* A) \xrightarrow{\sim} \delta(\phi_i''^* A)$$

sont égaux.

Preuve. Le premier point résulte du fait que pour tout faisceau inversible L sur X , on peut trouver un faisceau inversible $M \gg 0$ tel que $L \otimes M \gg 0$.

Montrons d'abord le second point quand $k = l$. Dans ce cas, on peut trouver des $(n+2)$ -cubes C et C' , suffisamment positifs dans la direction k , tels que $A *_k B *_k C = A *_k B' *_k C'$ et $B *_k C$, $B' *_k C'$ et $A *_k B *_k C$ sont suffisamment positifs dans la direction k . On a alors en utilisant la remarque (5.6.1):

$$s_{A *_k B, i} \otimes s_{B, i}^{-1} = s_{A *_k B *_k C, i} \otimes s_{B *_k C, i}^{-1} = s_{A *_k B' *_k C', i} \otimes s_{B' *_k C', i}^{-1} = s_{A *_k B', i} \otimes s_{B', i}^{-1}$$

Dans le cas où $k \neq l$, on introduit un $(n+2)$ -cube C déterminé uniquement par les conditions suivantes: C est recollable avec B dans la direction l et avec B' dans la direction k , comme le décrit le diagramme suivant:

$$l \uparrow \begin{array}{|c|c|} \hline B' & C \\ \hline A & B \\ \hline \end{array} \begin{array}{c} \\ \\ \xrightarrow{k} \end{array}$$

En notant D le cube total, on écrit alors:

$$s_{A *_k B, i} \otimes s_{B, i}^{-1} = s_{C, i} \otimes s_{B' *_k C, i}^{-1} \otimes s_{B, i}^{-1} = s_{C, i} \otimes s_{B *_l C, i}^{-1} \otimes s_{B', i}^{-1} = s_{A *_l B', i} \otimes s_{B', i}^{-1}$$

□

Ce lemme permet donc de définir $s_{A,i} : \delta(\phi_i'^* A) \xrightarrow{\sim} \delta(\phi_i''^* A)$ dès que A est suffisamment positif dans *une* direction $j \neq i$ par la formule:

$$s_{A,i} = s_{B,i}^{-1} \circ s_{A*_k B,i}$$

En réitérant cette argument, on construit $s_{A,i}$ pour tout $(n+2)$ -cube A dans $PIC(X)$, sans hypothèse de positivité sur A .

5.6.3. Lemme. *Les isomorphismes $s_{A,i}$ ainsi construits vérifient les propriétés de la proposition (4.4.6).*

Ce qui conclut la preuve du théorème principal. \square

6. FIBRÉ D'INTERSECTION ET RÉSULTANT

6.1. Fibré d'intersection. Pour tout morphisme projectif et plat $\pi : X \rightarrow S$, à fibres de dimension n , sur un schéma S localement noethérien, définissons le $(n+1)$ -foncteur:

$$I_{X/S} : PIC^{n+1}(X) \rightarrow PIC(S)$$

$$(L_1, \dots, L_{n+1}) \mapsto \bigotimes_{k=0}^{n+1} \left(\bigotimes_{i_1 < \dots < i_k} \delta(L_{i_1} \otimes \dots \otimes L_{i_k}) \right)^{(-1)^{n+1-k}},$$

appelé *foncteur fibré d'intersection* pour X/S .

6.1.1. Proposition. *Le foncteur $I_{X/S}$ est un $(n+1)$ -foncteur additif en chaque variable, vérifiant les propriétés suivantes:*

1. *La formation de $I_{X/S}$ commute aux changements de bases.*
2. *$I_{X/S}$ est muni de données de symétrie, compatibles avec les données d'additivité en chaque variable.*
3. *Si $\pi : X \rightarrow S$ est fini et plat, le foncteur $I_{X/S} : PIC(X) \rightarrow PIC(S)$ est simplement le foncteur norme $N_{X/S}$ et les contraintes d'additivité pour $I_{X/S}$ sont les isomorphismes usuels $N_{X/S}(L \otimes L') \xrightarrow{\sim} N_{X/S}(L) \otimes N_{X/S}(L')$.*
4. *Soient L_1, \dots, L_{n+1} des faisceaux inversibles sur X et σ_{n+1} une section π -régulière de L_{n+1} définissant un diviseur de Cartier relatif effectif D . Il existe un isomorphisme canonique:*

$$\rho_D : I_{X/S}(L_1, \dots, L_{n+1}) \xrightarrow{\sim} I_{D/S}(L_1|_D, \dots, L_n|_D)$$

qui est fonctoriel en les isomorphismes $L_i \xrightarrow{\sim} L'_i$ pour $1 \leq i \leq n$ et compatible avec les données d'additivité et de symétrie de $I_{X/S}$ en les L_1, \dots, L_n et de $I_{D/S}$ en les $L_1|_D, \dots, L_n|_D$.

5. *Si, en plus des données de 4, on dispose d'une section σ_n de L_n telle que (σ_n, σ_{n+1}) et (σ_{n+1}, σ_n) sont des suites π -régulières, notons E le diviseur défini par σ_n . Le diagramme suivant est alors commutatif:*

$$\begin{array}{ccc} I_{X/S}(L_1, \dots, L_{n+1}) & \xrightarrow{\rho_D} & I_{D/S}(L_1|_D, \dots, L_n|_D) \\ \rho_E \downarrow & & \downarrow \rho_E \\ I_{E/S}(L_1|_E, \dots, L_{n-1}|_E, L_{n+1}|_E) & \xrightarrow{\rho_D} & I_{D \cap E/S}(L_1|_{D \cap E}, \dots, L_{n-1}|_{D \cap E}) \end{array}$$

Preuve. Notons que, par définition,

$$I_{X/S}(L_1, \dots, L_n) = \delta_{X/S}(K_{\mathcal{O}_X}(L_1, \dots, L_n)) .$$

C'est donc le $(n + 1)$ -foncteur multi-additif et symétrique associé à la structure du cube sur le foncteur $\delta : PIC(X) \rightarrow PIC(S)$. La propriété 1 provient de la compatibilité du foncteur δ aux changements de bases. L'existence de données d'additivité en chaque variable et de données de symétrie compatibles à l'additivité provient de l'existence d'une structure de $(n + 2)$ -cube sur δ . L'identification 3 de $I_{X/S}$ et $N_{X/S}$ dans le cas d'un schéma relatif fini et plat est simplement la définition de la structure du carré dans le cas de dimension relative 0.

Il reste à construire l'isomorphisme ρ_D : Les isomorphismes de restrictions décrits en (5.3) induisent un isomorphisme canonique:

$$\delta_{X/S}(K_{\mathcal{O}_X}(\mathcal{O}_X(D), L_1, \dots, L_n)) \xrightarrow{\sim} \delta_{D/S}(K_{\mathcal{O}_X(D)|_D}(L_1(D)|_D, \dots, L_n(D)|_D))$$

Par ailleurs, l'égalité

$$K_{\mathcal{O}_X(D)|_D}(L_1(D)|_D, \dots, L_n(D)|_D) = K_{\mathcal{O}_D}(L_1|_D, \dots, L_n|_D) \otimes_{\mathcal{O}_D} \mathcal{O}_X(D)|_D$$

induit, d'après (3.4.4), un isomorphisme

$$\delta_{D/S}(K_{\mathcal{O}_X(D)|_D}(L_1(D)|_D, \dots, L_n(D)|_D)) \xrightarrow{\sim} I_{D/S}(L_1|_D, \dots, L_n|_D).$$

D'après les propriétés des structures du cube pour $\delta_{D/S}$ et $\delta_{X/S}$, ces deux isomorphismes sont fonctoriels et additifs en chaque L_i et compatibles aux données de symétries. Notons ρ_D leur composé; il vérifie donc les propriétés demandées. \square

6.1.2. Corollaire. *Soient L_1, \dots, L_n des faisceaux inversibles sur X et $(\sigma_1, \dots, \sigma_n)$ une suite π -régulière de sections des L_i . Notons D_i le lieu des zéros de σ_i . Pour tout faisceau inversible L sur X , les isomorphismes de restriction successifs de $\cap_{i=1}^p D_i$ à $\cap_{i=1}^{p+1} D_i$ induisent un isomorphisme canonique:*

$$I_{X/S}(L_1, \dots, L_n, L) \xrightarrow{\sim} N_{D_1 \cap \dots \cap D_n/S}(L|_{D_1 \cap \dots \cap D_n}),$$

fonctoriel en les isomorphismes $L \xrightarrow{\sim} L'$ et additif en L .

Preuve. Remarquons que, par hypothèse, pour tout entier p tel que $1 \leq p \leq n$, $D_1 \cap \dots \cap D_p \rightarrow S$ est un morphisme projectif et plat à fibres de dimension $n - p$ et $D_1 \cap \dots \cap D_p \cap D_{p+1}$ est un diviseur de Cartier relatif effectif de $D_1 \cap \dots \cap D_p/S$. On peut donc itérer la construction précédente, et on obtient un isomorphisme

$$I_{X/S}(\mathcal{O}_X(D_1), \dots, \mathcal{O}_X(D_n), L) \xrightarrow{\sim} I_{D_1 \cap \dots \cap D_n/S}(L|_{D_1 \cap \dots \cap D_n}).$$

On conclut alors en utilisant le fait que $D_1 \cap \dots \cap D_n \rightarrow S$ est fini et plat, ce qui entraîne que $I_{D_1 \cap \dots \cap D_n/S}(L|_{D_1 \cap \dots \cap D_n}) \simeq N_{D_1 \cap \dots \cap D_n/S}(L|_{D_1 \cap \dots \cap D_n})$. La fonctorialité et l'additivité de l'isomorphisme obtenu se vérifient à chaque étape de l'itération. \square

6.2. Sections du fibré d'intersection.

6.2.1. *Cas de la dimension 0.* Soit $\pi : Y \rightarrow T$ est un morphisme fini et plat, et soit L un faisceau inversible sur Y , muni d'une section σ qui ne s'annule pas au dessus d'un ouvert $U = T \setminus Z$ de T . La section σ induit un isomorphisme $\mathcal{O}|_{Y_U} \xrightarrow{\sim} L|_{Y_U}$, qui induit donc par fonctorialité un isomorphisme $N_{Y_U/U}(\sigma) : \mathcal{O}_U \xrightarrow{\sim} (N_{Y/T}L)|_U$. Celui ci se prolonge en une section $s : \mathcal{O}_T \xrightarrow{\sim} N_{Y/T}L$, non nulle en dehors de Z et définie par le morphisme

$$\det \pi_* s : \det \pi_* \mathcal{O}_Y \rightarrow \det \pi_* L .$$

6.2.2. *Construction d'une section sur un ouvert.* Soit $\pi : X \rightarrow S$ un morphisme projectif et plat, à fibres de dimension n et L_1, \dots, L_{n+1} des faisceaux inversibles sur X . Supposons que l'on dispose de sections σ_i de chaque L_i telles que $(\sigma_1, \dots, \sigma_n)$ est une suite π -régulière. Notons D_i le lieu des zéros de σ_i et U l'ouvert de S au dessus duquel $D_1 \cap \dots \cap D_{n+1} = \emptyset$, on peut appliquer ce qui précède au morphisme fini et plat $D_1 \cap \dots \cap D_n \rightarrow S$, au faisceau inversible $L_{n+1}|_{D_1 \cap \dots \cap D_n}$ et à sa section $\sigma_{n+1}|_{D_1 \cap \dots \cap D_n}$. On obtient ainsi une section $\mathcal{O}_S \rightarrow I_{X/S}(L_1, \dots, L_{n+1})$, dont la restriction à U est un isomorphisme.

6.3. **Construction du résultant.** Soit $\pi : X \rightarrow S$ un morphisme projectif et plat, à fibres de dimension n et L_1, \dots, L_{n+1} des faisceaux inversibles sur X . Effectuons le changement de base:

$$\begin{array}{ccc} X_P & \xrightarrow{g} & X \\ \pi \downarrow & & \downarrow \pi \\ P = P_{L_1} \times_S \dots \times_S P_{L_n} & \xrightarrow{f} & S \end{array}$$

Pour tout entier i , notons p_i la projection de P sur P_i et π_i la composée $X \rightarrow P \rightarrow P_i$, et considérons le faisceau inversible $L'_i = g^*L_i \otimes \pi_i^*\mathcal{O}_{P_i}(1)$. Considérons alors le faisceau inversible sur P :

$$\text{Res}(L_1, \dots, L_{n+1}) = I_{X_P/P}(L'_1, \dots, L'_{n+1})$$

6.3.1. Lemme. *Res(L_1, \dots, L_{n+1}) est canoniquement isomorphe à $f^*I_{X/S}(L_1, \dots, L_{n+1}) \otimes \bigotimes_{i=1}^{n+1} p_i^*\mathcal{O}_{P_i}(k_i)$, où $k_i : S \rightarrow \mathbb{Z}$ est la fonction localement constante qui à $s \in S$ associe le nombre d'intersection sur X_s des restrictions à X_s des faisceaux L_j pour $j \neq i$.*

Preuve. Rappelons que, si K est un p -cube dans $\text{PIC}(X)$, pour tout faisceau inversible L sur S , on a un isomorphisme canonique $\delta(K \otimes \pi^*L) \xrightarrow{\sim} \delta(K) \otimes L^{\otimes \chi_{X/S}(K)}$. Soit $1 \leq i \leq n+1$, notons i_1, \dots, i_n les n entiers compris entre 1 et $n+1$ et distincts de i , classés par ordre croissant. Si M_{i_1}, \dots, M_{i_n} sont des faisceaux inversibles sur P , on a alors:

$$\begin{aligned} \chi_{X_P/P}(K_{\mathcal{O}_X}(g^*L_{i_1} \otimes \pi^*M_{i_1}, \dots, g^*L_{i_n} \otimes \pi^*M_{i_n})) &= \\ \chi_{X_P/P}(K_{\mathcal{O}_X}(g^*L_{i_1}, \dots, g^*L_{i_n})) &= \chi_{X/S}(K_{\mathcal{O}_X}(L_{i_1}, \dots, L_{i_n})) = k_i \end{aligned}$$

On peut alors écrire:

$$\begin{aligned} \text{Res}(L_1, \dots, L_{n+1}) &= I_{X_P/P}(L'_1, \dots, L'_n, g^*L_{n+1} \otimes \pi_i^*\mathcal{O}_{P_{n+1}}(1)) \\ &\simeq \delta(K)^{-1} \otimes \delta(K \otimes g^*L_{n+1} \otimes \pi_i^*\mathcal{O}_{P_{n+1}}(1)) \simeq \delta(K)^{-1} \otimes \delta(K \otimes g^*L_{n+1}) \otimes (p_i^*\mathcal{O}_{P_{n+1}}(1))^{k_{n+1}} \\ &\simeq \delta(K \xrightarrow[n+1]{} K \otimes g^*L_{n+1}) \otimes p_i^*\mathcal{O}_{P_{n+1}}(k_{n+1}), \end{aligned}$$

où l'on a posé $K = K_{\mathcal{O}_X}(L'_1, \dots, L'_n)$. En effectuant la même opération sur chacun des L_i , on obtient finalement:

$$\begin{aligned} \text{Res}(L_1, \dots, L_{n+1}) &\simeq I_{X_P/P}(g^*L_1, \dots, g^*L_{n+1}) \otimes \bigotimes_{i=1}^{n+1} p_i^*\mathcal{O}_{P_i}(k_i) \\ &\simeq f^*I_{X/S}(L_1, \dots, L_{n+1}) \otimes \bigotimes_{i=1}^{n+1} p_i^*\mathcal{O}_{P_i}(k_i) \end{aligned}$$

□

Pour tout i , considérons la section canonique σ_i des L_i sur X_P et notons D_i le lieu des zéros de σ_i . On va construire une section canonique $Res(\sigma_1, \dots, \sigma_{n+1})$ de $Res(L'_1, \dots, L'_{n+1})$, qu'on appellera *résultant* des σ_i .

Pour toute permutation $\phi \in S_{n+1}$, notons U_ϕ l'ouvert de P au dessus duquel $(\sigma_{\phi(1)}, \dots, \sigma_{\phi(n)})$ est une suite π -régulière.

6.3.2. Lemme. *Soient $U = \bigcup_{\phi \in S_{n+1}} U_\phi$ et $V = \bigcap_{\phi \in S_{n+1}} U_\phi$ et soient Z et Z' les fermés complémentaires. Si $f : P \rightarrow S$ désigne le morphisme structural, on a :*

1. Pour tout $z \in Z$, on a : $\text{Prof}(\mathcal{O}_{f^{-1}(f(z)), z}) \geq 2$.
2. Pour tout $z \in Z'$, on a : $\text{Prof}(\mathcal{O}_{f^{-1}(f(z)), z}) \geq 1$.

Preuve. Soit $z \in Z$, soit $k < n$ la longueur maximale d'une suite π -régulière prise parmi les σ_i au dessus de z , soit $(\sigma_{\phi(1)}, \dots, \sigma_{\phi(k)})$ une telle suite et soit $P' = P_{\phi(1)} \times_S \dots \times_S P_{\phi(k)}$. Décomposons $f : P \rightarrow S$ en

$$\begin{array}{ccccc}
 & & P' \times_S P_{\phi(k+1)} & & \\
 & \nearrow p' & & \searrow q' & \\
 P & \xrightarrow{p} & P' & \xrightarrow{r} & S \\
 & \searrow p'' & & \nearrow q'' & \\
 & & P' \times_S P_{\phi(k+2)} & &
 \end{array}$$

Par le lemme (2.4.3), $p'(z)$ est contenu dans un hyperplan de la fibre $(q')^{-1}(p(z))$ et, de même, $p''(z)$ est contenu dans un hyperplan de la fibre $(q'')^{-1}(p(z))$. Donc z est contenu dans l'intersection de deux hyperplans de la fibre $p^{-1}(p(z))$ et donc dans l'intersection de deux hyperplans de $f^{-1}(f(z))$, ce qui montre le résultat.

La deuxième assertion se montre de manière analogue. □

Pour tout $\phi \in S_{n+1}$, on a un isomorphisme défini sur l'ouvert U_ϕ :

$$(17) \quad I_{X/S}(L_1, \dots, L_{n+1}) \xrightarrow{\sim} N_{D_{\phi(1)} \cap \dots \cap D_{\phi(n)}/S}(L_{\phi(n+1)})$$

et la section $N_{D_{\phi(1)} \cap \dots \cap D_{\phi(n)}/S}(\sigma_{\phi(n+1)})$ définit donc une section s_ϕ de $I_{X/S}|_{U_\phi}$.

6.3.3. Lemme. *Pour tous $\phi, \psi \in S_n$, on a $s_\phi|_V = s_\psi|_V$.*

Preuve. Si $\phi(n+1) = \psi(n+1)$, ceci provient de l'assertion 5 de la proposition (6.1.1). Il suffit donc de montrer l'assertion dans le cas où $\phi(n) = \psi(n+1)$ et $\phi(n+1) = \psi(n)$. Notons alors $Y = D_{\phi(1)} \cap \dots \cap D_{\phi(n-1)}$. C'est un schéma relatif sur S à fibres de dimension 1 et les isomorphismes (17) correspondant à ϕ et ψ se factorisent en

$$I_{X/S}(L_1, \dots, L_{n+1}) \xrightarrow{\sim} I_{Y/S}(L_{\phi(n)}, L_{\phi(n+1)}) \xrightarrow{\sim} N_{Y \cap D_{\phi(n)}/S}(L_{\phi(n+1)})$$

et

$$I_{X/S}(L_1, \dots, L_{n+1}) \xrightarrow{\sim} I_{Y/S}(L_{\phi(n)}, L_{\phi(n+1)}) \xrightarrow{\sim} N_{Y \cap D_{\phi(n+1)}/S}(L_{\phi(n)})$$

Le lemme (5.2.2) entraîne que le diagramme

$$\begin{array}{ccc}
 & N_{Y \cap D_{\phi(n)}/S}(L_{\phi(n+1)}) & \xrightarrow{\sim} I_{Y/S}(L_{\phi(n)}, L_{\phi(n+1)}) \\
 N_{Y \cap D_{\phi(n)}/S}(\sigma_{\phi(n+1)}) \nearrow & & \downarrow \\
 \mathcal{O}_S & & \\
 N_{Y \cap D_{\phi(n+1)}/S}(L_{\phi(n)}) \searrow & & \\
 & N_{Y \cap D_{\phi(n+1)}/S}(L_{\phi(n)}) & \xrightarrow{\sim} I_{Y/S}(L_{\phi(n)}, L_{\phi(n+1)})
 \end{array}$$

est commutatif, ce qui montre l'assertion. \square

En utilisant l'assertion 2 du lemme (6.3.2), on en déduit que s_ϕ et s_ψ coïncident sur $U_\phi \cap U_\psi$. Les s_ϕ définissent donc une section de $I_{X_P/P}$ sur l'ouvert U de P . D'après l'assertion 1 du lemme (6.3.2), une telle section se prolonge de manière unique en une section de $I_{X_P/P}$ sur P .

6.3.4. Définition. On appelle résultant de $\sigma_1, \dots, \sigma_{n+1}$ et on note $Res(\sigma_1, \dots, \sigma_{n+1})$ l'unique section de $I_{X_P/P}$ qui coïncide avec s_ϕ sur l'ouvert U_ϕ pour tout $\phi \in S_{n+1}$.

Les résultats suivants justifient la terminologie "résultant":

6.3.5. Lemme. Soit $R \subset P$ l'image par π du lieu des zéros de la section $\sigma = \bigoplus \sigma_i$ de $\bigoplus L'_i$. R est un fermé de P et pour tout point $p \in P$ tel que $\text{Prof}(\mathcal{O}_{P_f(p),p}) \leq 1$, p est élément de R si et seulement si $Res(\sigma_1, \dots, \sigma_{n+1})(p) = 0$.

Preuve. D'après la partie 2 du lemme (6.3.2), il suffit de montrer que, pour tout point p de l'ouvert $U = \bigcup_{\phi \in S_{n+1}} U_\phi$, on a $Res(\sigma_1, \dots, \sigma_{n+1})(p) = 0$ si et seulement si $p \in R$. Soit donc $p \in U$ et $\phi \in S_{n+1}$ tel que $p \in U_\phi$. Sur U_ϕ , $Res(\sigma_1, \dots, \sigma_{n+1})$ coïncide avec $N_{D_{\phi(1)} \cap \dots \cap D_{\phi(n)}}(\sigma_{\phi(n+1)})$ et cette section s'annule si et seulement si $\sigma_{\phi(n+1)}$ s'annule en point de la fibre $(D_{\phi(1)} \cap \dots \cap D_{\phi(n)})_p$, ce qui montre le résultat. \square

6.3.6. Lemme. Pour toute permutation $\phi \in S_{n+1}$, l'isomorphisme de symétrie

$$Res(L_{\phi(1)}, \dots, L_{\phi(n+1)}) \xrightarrow{\sim} Res(L_1, \dots, L_{n+1}),$$

provenant des isomorphismes de symétrie du fibré d'intersection, échange leurs sections respectives $Res(\sigma_{\phi(1)}, \dots, \sigma_{\phi(n+1)})$ et $Res(\sigma_1, \dots, \sigma_{n+1})$.

Preuve. Il suffit de montrer cette égalité sur l'ouvert $V = \bigcap_{\phi \in S_{n+1}} U_\phi$ et de plus il suffit de considérer le cas où ϕ est une transposition de deux indices i et j . Si $n = 1$, il suffit alors d'appliquer le lemme (5.2.2). Si $n > 1$, choisissons une permutation $\psi \in S_n$ telle que $\psi(n+1) \notin \{i, j\}$. Comme, sur V , la section $Res(\sigma_1, \dots, \sigma_{n+1})$ se factorise en:

$$\mathcal{O}_S \longrightarrow N_{D_{\psi(1)} \cap \dots \cap D_{\psi(n)}/S}(L_{\psi(n+1)}) \xrightarrow{\sim} I_{X/S}(L_1, \dots, L_{n+1}),$$

le résultat en résulte, puisque $D_{\psi(1)} \cap \dots \cap D_{\psi(n)}$ est invariant par la transposition ϕ . \square

6.3.7. Multiplicativité du résultant. Soient $L'_1, L''_1, L_2, \dots, L_{n+1}$ des faisceaux inversibles suffisamment positifs sur X et supposons de plus que $L'_1 \otimes L''_1 \gg 0$. On notera alors $P' = P_{L'_1} \times_S \dots \times_S P_{L_{n+1}}$, $P'' = P_{L''_1} \times_S \dots \times_S P_{L_{n+1}}$, $P = P' \times_S P''$ et $Q = P_{L'_1 \otimes L''_1} \times_S \dots \times_S P_{L_{n+1}}$.

Le morphisme canonique de multiplication des sections $m : P_{L'_1} \times_S P_{L''_1} \rightarrow P_{L'_1 \otimes L''_1}$ induit un morphisme noté toujours $m : P \rightarrow Q$. Considérons alors le diagramme suivant

$$(18) \quad \begin{array}{ccccc} & & g & & \\ & & \curvearrowright & & \\ & & X_P & \xrightarrow{n} & X_Q & \xrightarrow{f} & X \\ & \nearrow \pi' & \downarrow \pi & & \downarrow \pi & & \downarrow \pi \\ & P & \xrightarrow{m} & Q & \xrightarrow{\pi_1} & S \\ & \searrow p' & \searrow p'' & & \searrow p_1 & & \\ & P' & & P'' & & P_{L'_1 \otimes L''_1} \\ & \downarrow p'_1 & & \downarrow p''_1 & & \downarrow p_1 \\ & P_{L'_1} & & P_{L''_1} & & P_{L'_1 \otimes L''_1} \end{array}$$

On notera enfin p_i les différentes projections de P , P' ou Q sur P_{L_i} et π_i leur composée avec π .

6.3.8. Lemme. *Il existe un isomorphisme canonique de faisceaux inversibles sur $P' \times_S P''$*
 $m^* \text{Res}(L'_1 \otimes L''_1, L_2, \dots, L_{n+1}) \xrightarrow{\sim} (p'_1)^* \text{Res}(L'_1, L_2, \dots, L_{n+1}) \otimes (p''_1)^* \text{Res}(L''_1, L_2, \dots, L_{n+1})$
qui induit une égalité sur les sections:

$$m^* \text{Res}(\tau, \sigma_2, \dots, \sigma_{n+1}) = (p'_1)^* \text{Res}(\sigma''_1, \sigma_2, \dots, \sigma_{n+1}) \otimes (p''_1)^* \text{Res}(\sigma'_1, \sigma_2, \dots, \sigma_{n+1})$$

où τ est la section canonique de $f^*(L_1 \otimes L'_1) \otimes \pi_1^* \mathcal{O}_{P_{L'_1 \otimes L''_1}}(1)$.

Preuve. Il existe un isomorphisme canonique de faisceau inversibles sur $P' \times_S P''$:

$$m^* p_1^* \mathcal{O}_{P_{L'_1 \otimes L''_1}}(1) \simeq (p'_1)^* \mathcal{O}_{P_{L'_1}}(1) \otimes (p''_1)^* \mathcal{O}_{P_{L''_1}}(1)$$

En prenant l'image inverse par π et en tensorisant avec $g^*(L'_1 \otimes L''_1)$, on obtient sur $X_{P' \times_S P''}$ un isomorphisme:

$$n^* \pi^* \mathcal{O}_{P_{L \otimes M}}(1) \otimes g^*(L'_1 \otimes L''_1) \simeq \left((\pi'_1)^* \mathcal{O}_{P_{L'_1}}(1) \otimes g^* L'_1 \right) \otimes \left((\pi''_1)^* \mathcal{O}_{P_{L''_1}}(1) \otimes g^* L''_1 \right)$$

qui identifie $n^* \tau$ avec $\sigma'_1 \otimes \sigma''_1$. La propriété de multiplicativité du fibré d'intersection $I_{X_Q/Q}$ induit donc un isomorphisme:

$$\begin{aligned} m^* I_{X_Q/Q}(f^*(L'_1 \otimes L''_1) \otimes \pi_1^* \mathcal{O}_{P_{L'_1 \otimes L''_1}}(1), \dots, f^* L_{n+1} \otimes \pi_n^* \mathcal{O}_{P_{L_{n+1}}}(1)) &\xrightarrow{\sim} \\ I_{X_Q/Q}(g^* L'_1 \otimes g^* L''_1 \otimes (\pi'_1)^* \mathcal{O}_{P_{L'_1}}(1) \otimes (\pi''_1)^* \mathcal{O}_{P_{L''_1}}(1), \dots, g^* L_{n+1} \otimes \pi_n^* \mathcal{O}_{P_{L_{n+1}}}(1)) & \\ \xrightarrow{\sim} (p'_1)^* \text{Res}(L'_1, \dots, L_{n+1}) \otimes (p''_1)^* \text{Res}(L''_1, \dots, L_{n+1}) & \end{aligned}$$

qui identifie les sections correspondantes. \square

6.4. Lien avec la définition classique du résultant. Considérons le schéma $X = \mathbb{P}_k^n$ sur $S = \text{Spec}(k)$. Dans tout ce qui suit, on écrira explicitement X sous la forme $\text{Proj}(k[X_1, \dots, X_{n+1}])$, et on considèrera les $n+1$ hyperplans H_i de X d'équations $X_i = 0$. Fixons des entiers strictement positifs d_1, \dots, d_{n+1} et considérons les faisceaux $L_i = \mathcal{O}_X(d_i)$, qu'on identifiera à $\mathcal{O}_X(d_i H_i)$, en notant τ_i la section canonique correspondante. Les L_i sont suffisamment positifs et on regarde les espaces projectifs P_i correspondants sont de dimension $\binom{d_i+n}{n} - 1$.

Notons enfin $V_i = H^0(X, L_i)$.

L'isomorphisme canonique (6.3.1) s'écrit ici:

$$\text{Res}(L_1, \dots, L_{n+1}) \xrightarrow{\sim} \bigotimes_{i=1}^{n+1} p_i^* \mathcal{O}_{P_i}(k_i) \otimes I_{X/S}(L_1, \dots, L_{n+1})$$

avec $k_i = \prod_{k \neq i} d_k$. Comme $\bigcap_{i=1}^{n+1} H_i = \emptyset$, $I_{X/S}(\tau_1, \dots, \tau_{n+1})$ définit une trivialisation de $I_{X/S}(L_1, \dots, L_{n+1})$. On en déduit donc un isomorphisme, associé canoniquement au choix des coordonnées X_i :

$$\text{Res}(L_1, \dots, L_{n+1}) \xrightarrow{\sim} \bigotimes_{i=1}^{n+1} p_i^* \mathcal{O}_{P_i}(k_i)$$

La section canonique $\text{Res}(\sigma_1, \dots, \sigma_{n+1})$ de $\text{Res}(L_1, \dots, L_{n+1})$ définit donc une section de $\bigotimes_{i=1}^{n+1} p_i^* \mathcal{O}_{P_i}(k_i)$ sur le produit $P = P_1 \times \dots \times P_{n+1}$, c'est à dire un polynôme quasi-homogène sur $V = \bigoplus_{i=1}^{n+1} V_i$, de degré k_i relativement à V_i . C'est le résultant étudié par JOUANOLOU dans [11]. On le notera alors $\underline{\text{Res}}(\sigma_1, \dots, \sigma_{n+1})$. Notons alors que les lemmes (6.3.6) et (6.3.8) entraînent que ce polynôme est symétrique et multiplicatif en chaque groupe de variables.

6.4.1. *La formule de Poisson.* Dans cette section, on interprète la formule de Poisson pour les polynômes résultants ([11], Prop 2.7, p124), qui permet de calculer le résultant $\underline{\text{Res}}(\sigma_1, \dots, \sigma_{n+1})$ par récurrence sur la dimension, en l'exprimant en fonction d'un résultant $\underline{\text{Res}}(\sigma_1|_H, \dots, \sigma_n|_H)$ associé à un hyperplan H , et de la norme d'une fonction définie sur l'ouvert affine, complémentaire de H .

On note ici H l'hyperplan H_{n+1} de X et $Q = P_1 \times \dots \times P_n$ de telle sorte que $P = Q \times P_{n+1}$. Soit $Z \subset X_P$ le lieu des zéros communs de $\sigma_1, \dots, \sigma_n$, considérons alors les ouverts $U_0 = \{q \in Q \mid Z \cap H_{n+1} \cap X_q = \emptyset\}$ et $U = U_0 \times P_{n+1} \subset P = Q \times P_{n+1}$. H est un espace projectif de dimension $n-1$, muni de coordonnées X_1, \dots, X_n , et on peut donc définir un résultant $\text{Res}(L_1|_H, \dots, L_n|_H)$ sur $P'_1 \times \dots \times P'_n$, où $P'_i = \mathbb{P}(H^0(H, L_i)^\vee)$. Résumons d'abord dans un diagramme la situation:

$$\begin{array}{ccccccc}
 & & \text{Res}(\sigma_1, \dots, \sigma_{n+1}) & & X_U \subset X_P & & \\
 & & \swarrow & & \downarrow & & \\
 & & & & P & & \\
 \text{Res}(\sigma_1|_H, \dots, \sigma_n|_H) & & & & \swarrow \pi_Q & & \searrow \pi_{n+1} \\
 & H_{Q'} & X_{U_0} \subset X_Q & & & & X_{P_{n+1}} \xrightarrow{p} X \\
 & \downarrow & \downarrow & & & & \downarrow \\
 & Q' & U_0 \subset Q & & & & P_{n+1} \\
 & \swarrow \pi_{Q'} & \leftarrow & & & & \\
 & & & & & & \\
 & \pi'_i \downarrow & & & \pi_i \downarrow & & \\
 & P'_i & & & P_i & &
 \end{array}$$

Sur l'ouvert $X \setminus H$, on dispose d'un isomorphisme $L_{n+1} \xrightarrow{\sim} \mathcal{O}_{X \setminus H}$. La restriction $\tilde{\sigma}_{n+1}$ de σ_{n+1} à $P \times (X \setminus H)$ est donc une section de $p_n^*(\mathcal{O}(1))$. Comme Z_U est contenu dans $(X \setminus H) \times U$, la restriction de $\tilde{\sigma}_{n+1}$ à Z_U est bien définie et sa norme $N_{Z_U/U}(\tilde{\sigma}_{n+1})$ est une section de $\pi_{n+1}^* \mathcal{O}(k_{n+1})$. Notons que ces considérations montrent l'existence d'un isomorphisme canonique

$$(19) \quad \text{Res}(L_1, \dots, L_{n+1})|_U \xrightarrow{\sim} \pi_{n+1}^* \mathcal{O}_{P_{n+1}}(k_{n+1})$$

qui identifie les sections $\text{Res}(\sigma_1, \dots, \sigma_{n+1})|_U$ et $N_{Z_U/U}(\tilde{\sigma}_{n+1})$.

6.4.1. Proposition (Formule de Poisson). *Sur l'ouvert U , on a l'égalité entre polynômes de $\Gamma(U_0, \mathcal{O}_{U_0})[V_{n+1}]$:*

$$\underline{Res}(\sigma_1, \dots, \sigma_{n+1})|_U = \pi_Q^* \underline{Res}(\sigma_1|_H, \dots, \sigma_n|_H)|_{U_0} \cdot N_{Z_U/U}(\tilde{\sigma}_{n+1})$$

Preuve. Utilisons la définition du faisceau résultant et la multiplicativité du fibré d'intersection pour écrire le diagramme d'isomorphismes:

$$\begin{array}{ccc} Res(L_1, \dots, L_{n+1}) & \xrightarrow{\sim} & I_{X/S}(L'_1, \dots, L'_n, p^* \mathcal{O}_X(d_{n+1}H)) \otimes I_{X/S}(L'_1, \dots, L'_n, \pi_{n+1}^* \mathcal{O}_{P_{n+1}}(1)) \\ \parallel & & \downarrow \wr \\ Res(L_1, \dots, L_{n+1}) & & (I_{H/S}(L'_1|_H, \dots, L'_n|_H))^{d_{n+1}} \quad N_{Z/P}(\pi_{n+1}^* \mathcal{O}_{P_{n+1}}(1)) \\ \downarrow \wr & & \downarrow \wr \\ \bigotimes_{i=1}^{n+1} \pi_i^* \mathcal{O}_{P_i}(k_i) & & \bigotimes_{i=1}^n \pi_i^* \mathcal{O}_{P_i}(k_i) \quad \pi_{n+1}^* \mathcal{O}_{P_{n+1}}(k_{n+1}) \\ \otimes & & \otimes \\ I_{X/S}(L_1, \dots, L_{n+1}) & & (I_{H/S}(L_1|_H, \dots, L_n|_H))^{d_{n+1}} \end{array}$$

La deuxième ligne de ce diagramme donne un isomorphisme

$$(20) \quad Res(L_1, \dots, L_{n+1}) \xrightarrow{\sim} (I_{H/S}(L'_1|_H, \dots, L'_n|_H))^{d_{n+1}} \otimes N_{Z/P}(\pi_{n+1}^* \mathcal{O}_{P_{n+1}}(1))$$

En combinant la restriction de (20) à U et l'isomorphisme $Res(\sigma_1|_H, \dots, \sigma_n|_H)|_U : \mathcal{O}_U \xrightarrow{\sim} I_{H/S}(L'_1|_H, \dots, L'_n|_H)|_U$, on obtient l'isomorphisme (19). La restriction de (20) à U identifie donc $Res(\sigma_1, \dots, \sigma_{n+1})|_U$ à $= \pi_Q^* Res(\sigma_1|_H, \dots, \sigma_n|_H)|_{U_0} \otimes N_{Z_U/U}(\tilde{\sigma}_{n+1})$. L'égalité polynômiale recherchée s'en déduit en utilisant la définition des polynômes résultants et les isomorphismes de la partie inférieure du diagramme. \square

REFERENCES

- [1] W. AITKEN. *An Arithmetic Riemann-Roch Theorem for singular Arithmetic Surfaces*, volume 120 de *Memoirs of the A.M.S.* AMS, Providence, 1996.
- [2] A. BEAUVILLE. *Surfaces algébriques complexes*, volume 54 de *Astérisque*. SMF, 1978.
- [3] L. BREEN. *Fonctions thêta et théorème du cube*, volume 980 de *Lecture Notes in Mathematics*. Springer Verlag, 1983.
- [4] P. DELIGNE. \mathbb{Z} Exposé 18: La formule de dualité globale \mathbb{Z} . Dans *S.G.A. 4, Lecture Notes in Mathematics 305*, Berlin, 1972. Springer Verlag.
- [5] P. DELIGNE. \mathbb{Z} Le déterminant de la cohomologie \mathbb{Z} . Dans *Current Trends in Arithmetical Algebraic Geometry*, volume 67 de *Contemp. Math.* AMS, 1987.
- [6] F. DUCROT. \mathbb{Z} Fibré déterminant et courbes relatives \mathbb{Z} . *Bull. Soc. math. France*, 118:311–361, 1990.
- [7] R. ELKIK. \mathbb{Z} Fibrés d'intersections et intégrales de classes de Chern \mathbb{Z} . *Ann. scient. Ec. Norm. Sup.*, 22:195–226, 1989.
- [8] A. GROTHENDIECK et J. DIEUDONNÉ. *Elements de géométrie algébrique 2, Etude globale de quelques classes de morphismes*, volume 8 de *Publ. Math. I.H.E.S.* Presses Universitaires de France, Paris, 1960.
- [9] A. GROTHENDIECK et J. DIEUDONNÉ. *Elements de géométrie algébrique 4, Etude locale des schémas et des morphismes de schémas*, volume 20 de *Publ. Math. I.H.E.S.* Presses Universitaires de France, Paris, 1967.
- [10] R. HARTSHORNE. *Algebraic geometry*, volume 52 de *Graduate Texts in Mathematics*. Springer Verlag, Berlin, 1977.
- [11] J.P. JOUANOLOU. \mathbb{Z} Le formalisme du résultant \mathbb{Z} . *Adv. in Math.*, (90):117–263, 1991.
- [12] F. KNUDSEN et D. MUMFORD. \mathbb{Z} The Projectivity of the Moduli space of Stable Curves (I): Preliminary on "det" and "Div" \mathbb{Z} . *Math. Scand*, 39:19–55, 1976.
- [13] H. MATSUMURA. *Commutative Ring Theory*, volume 8 de *Cambridge Studies in Advanced Mathematics*. Cambridge University Press, 1970.
- [14] L. MORET-BAILLY. \mathbb{Z} Métriques permises \mathbb{Z} . Dans SZPIRO, éditeur, *Séminaire sur les pinceaux arithmétiques, la conjecture de Mordell*, volume 128 de *Astérisque*, pages 29–87, 1985.
- [15] D. MUMFORD. *Abelian Varieties*, volume 4 de *Tata Institute of Fundamental Research Studies in Mathematics*. Oxford University Press, 1970.

DÉPARTEMENT DE MATHÉMATIQUES, UNIVERSITÉ D'ANGERS, 2 BOULEVARD LAVOISIER, 49045 ANGERS
CEDEX 01, FRANCE

E-mail address: `francois.ducrot@univ-angers.fr`